

Ariel Guerreiro - 11257838  
Felipe Azank - 11258137

**1º Exercício Programa**  
PMR3401

São Paulo, 2022

# Conteúdo

<b>1</b>	<b>Método de Runge Kutta</b>	<b>4</b>
1.1	Descrição do problema . . . . .	4
1.2	Equacionamento e Modelagem computacional . . . . .	4
1.3	Resultados e Discussões . . . . .	6
1.3.1	Análise da influência do passo . . . . .	6
1.3.2	Comparação com outros parâmetros elétricos . . . . .	7
<b>2</b>	<b>Método de Diferenças Finitas</b>	<b>9</b>
2.1	Descrição do problema . . . . .	9
2.2	Equacionamento e Modelagem computacional . . . . .	10
2.2.1	Comportamento elétrico . . . . .	10
2.2.2	Comportamento térmico . . . . .	15
2.3	Resultados e Discussões . . . . .	17
2.3.1	Definição para o tamanho de malha . . . . .	18
2.3.2	Resultados do comportamento elétrico . . . . .	19
2.3.3	Resultados do comportamento térmico . . . . .	23
<b>3</b>	<b>Conclusões</b>	<b>27</b>
<b>4</b>	<b>Listagem de códigos</b>	<b>29</b>
4.1	Parte 1 - Método de Runge Kutta . . . . .	29
4.1.1	Implementação do RK4 . . . . .	29
4.1.2	Implementação da solução do circuito . . . . .	30
4.2	Parte 2 - Método de Diferenças Finitas . . . . .	33

4.2.1	Implementação do método de Liebman . . . . .	33
4.2.2	Implementação das equações pelo Método de Diferenças Finitas	35
4.2.3	Implementação da simulação dos valores do forno unindo o método de Liebman e o método de Diferenças Finitas . . . . .	42
4.2.4	Implementação das funções que geram os gráficos . . . . .	51
4.2.5	Uso das funções de resolução para gerar os resultados . . . . .	56

# 1 Método de Runge Kutta

## 1.1 Descrição do problema

O circuito elétrico de um forno pode ser conferido na Figura 1. O objetivo deste exercício é encontrar as correntes elétricas  $i_1(t)$ ,  $i_2(t)$  e a carga elétrica  $q(t)$  do capacitor C ao longo do tempo, dada uma fonte de tensão  $e(t)$ .

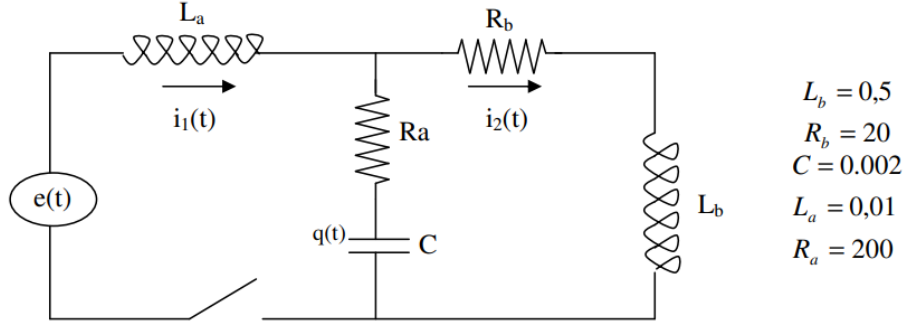


Figura 1: Circuito elétrico do forno

É possível representar o circuito por meio das seguintes equações:

$$\begin{cases} L_a \frac{di_1}{dt} + R_a(i_1 - i_2) + \frac{q(t)}{C} = e(t) \\ -\frac{q(t)}{C} - R_a(i_1 - i_2) + R_b i_2 + L_b \frac{di_2}{dt} = 0 \\ q(t) = \int_0^t (i_1(t') - i_2(t')) dt' + q(0) \end{cases} \quad (1)$$

Onde  $e(t) = \cos(600t)/L_a$  e  $i_1(0) = i_2(0) = q(0) = 0$

## 1.2 Equacionamento e Modelagem computacional

É possível reescrever o sistema de equações de modo a evidenciar as derivadas a serem calculadas. Em especial, a expressão da carga do capacitor foi derivada:

$$\begin{cases} \frac{di_1}{dt} = \frac{1}{L_a} \left( -R_a(i_1 - i_2) - \frac{q(t)}{C} + e(t) \right) \\ \frac{di_2}{dt} = \frac{1}{L_b} \left( \frac{q(t)}{C} + R_a(i_1 - i_2) - R_b i_2 \right) \\ \frac{dq}{dt} = i_1(t) - i_2(t) \end{cases} \quad (2)$$

Para a resolução deste sistema de equações diferenciais, é possível utilizar o método de Runge Kutta de 4<sup>a</sup> Ordem (RK Clássico) em sua forma matricial para resolver o sistema de forma iterativa, partindo da condição inicial e calculando o instante seguinte em função do anterior e da função de derivada  $[f]$  e do passo  $h$ . O cálculo dos valores  $Y_{i+1}$ , em um instante  $(i + 1)$ , é dado por:

$$[Y]_{i+1} = [Y]_i + \frac{h}{6} \left( [K_1] + 2[K_2] + 2[K_3] + [K_4] \right) \quad (3)$$

Onde:

$$\begin{cases} [K_1] = [F(x_i, [Y]_i)] \\ [K_2] = [F(x_i + \frac{h}{2}, [Y]_i + \frac{h}{2}[K_1])] \\ [K_3] = [F(x_i + \frac{h}{2}, [Y]_i + \frac{h}{2}[K_2])] \\ [K_4] = [F(x_i + h, [Y]_i + h[K_3])] \end{cases}$$

Para o problema do circuito elétrico, temos  $x_i = t_i$  e:

$$[Y]_i = \begin{bmatrix} i_1(t_i) \\ i_2(t_i) \\ q(t_i) \end{bmatrix} \quad [Y]_0 = \begin{bmatrix} 0 \\ 0 \\ 0 \end{bmatrix} \quad (4)$$

Temos também o vetor  $[F(x_i, [Y]_i)] = \frac{d}{dt}[Y]_i$ , determinado por meio das equações em (2):

$$[F(x_i, [Y]_i)] = \begin{bmatrix} \frac{1}{L_a}(e(t) - R_a(Y[1] - Y[2]) - Y[0]/C) \\ \frac{1}{L_b}(R_a(Y[1] - Y[2]) - R_b Y[2] + Y[0]/C) \\ Y[1] - Y[2] \end{bmatrix} \quad (5)$$

Onde  $Y[0]$ ,  $Y[1]$ ,  $Y[2]$  representam  $i_1(t_i)$ ,  $i_2(t_i)$ ,  $q(t)$  em um instante  $t_i$ .

O algoritmo foi implementado na linguagem de programação Python, com o auxílio das bibliotecas Numpy e Matplotlib. A listagem do código que implementa o algoritmo RK4 conforme descrito pela equação (3) pode ser conferido no Listing 1, enquanto o código utilizado para resolver o circuito elétrico pode ser conferido no Listing 2.

## 1.3 Resultados e Discussões

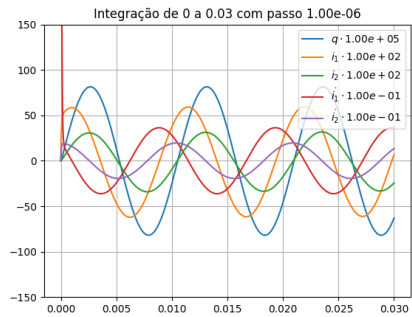
### 1.3.1 Análise da influência do passo

Para as propriedades descritas na Figura 1, buscou-se avaliar a influência do passo "h" na solução do sistema de equações no intervalo de 0 a 0,03s, buscando avaliar o comportamento da solução, que é esperado como periódico, além da magnitude das propriedades. Neste problema, os passos adotados podem ser conferidos na Tabela 1.

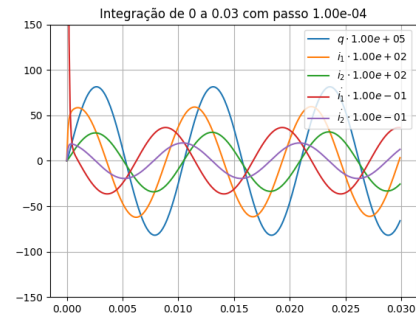
	Pequeno	Médio	Grande
Passo (h)	1e-6	0.0001	0.01

Tabela 1: Valores de passo utilizados

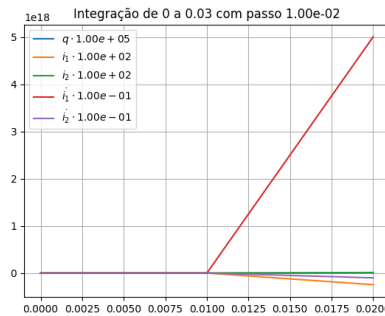
Os gráficos dos resultados, contendo  $i_1(t)$ ,  $i_1'(t)$ ,  $i_2(t)$ ,  $i_2'(t)$ ,  $q(t)$  podem ser conferidos na Figura 2.



(a) Passo pequeno



(b) Passo médio



(c) Passo grande

Figura 2: Resultados do RK4 com os diferentes passos

É possível observar que os resultados com passos médio e pequeno estão muito próximos, mas com um custo computacional e tempo de execução muito superior para o passo pequeno. Por outro lado, é possível verificar que o passo grande não foi capaz de convergir para uma solução, o que se justifica pela frequência da tensão elétrica, e pelo intervalo de solução. O período da tensão fornecida ao sistema é aproximadamente 0,01, portanto, é de se esperar que um passo da mesma magnitude não seja capaz de representar adequadamente o comportamento oscilatório do sistema.

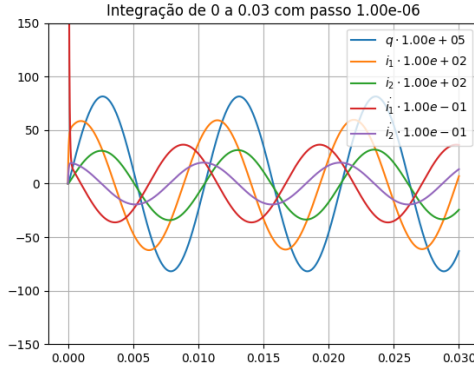
Por meio dos resultados obtidos, conclui-se que o valor ideal de passo, nas condições impostas, é de  $h = 1e - 4$ , por se tratar de um valor capaz de representar o sistema corretamente, ao mesmo tempo que não ocorre em um custo computacional alto como o passo pequeno.

### 1.3.2 Comparação com outros parâmetros elétricos

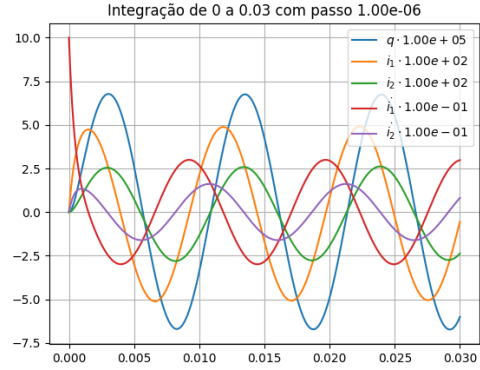
Resolveu-se o sistema novamente, para:

- Mesmas constantes da Figura 1, com  $L_a = 0,1$
- Mesmas constantes da Figura 1, com  $R_a = 2000$

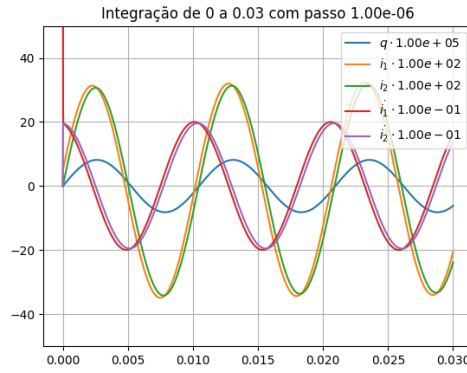
Inicialmente, adotou-se o passo médio. Porém, para a condição de  $R_a = 2000$ , o sistema só foi capaz de convergir com o passo pequeno. Dessa forma, utilizou-se o passo pequeno para todas as situações. Os resultados podem ser conferidos na Figura 3.



(a) Condições originais



(b)  $L_a = 0, 1$



(c)  $R_a = 2000$

Figura 3: Comportamento do sistema para cada condição imposta

É possível destacar que o aumento da indutância  $L_a$  levou a uma grande diminuição da magnitude dos sinais, visto que a tensão elétrica fornecida ao sistema foi reduzida. Em relação ao sistema original, a diferença de fase entre as correntes se manteve aproximadamente igual, e a relação do valor de carga no capacitor com as correntes elétricas aumentou.

Para o aumento da resistência  $R_a$ , nota-se, em relação ao sistema original, uma diminuição na magnitude das correntes, mas com valores superiores ao caso anterior. O efeito mais relevante dessa alteração é a redução da diferença de fase entre as correntes e o decréscimo da carga do capacitor em relação à corrente. Estes comportamentos são esperados, pois o aumento de  $R_a$  leva a uma queda de tensão no capacitor e também ao aumento do fator de potência, tornando as características resistivas do sistema mais relevantes do que as características indutivas e capacitivas.



## 2 Método de Diferenças Finitas

### 2.1 Descrição do problema

O circuito elétrico descrito na seção 1 é responsável por acionar um forno industrial, cuja estrutura pode ser conferida na Figura 4. Por se tratar de um forno elétrico, a diferença de potencial imposta gera uma corrente elétrica no sistema. A resistência elétrica proveniente dos materiais do forno e fundido geram, por efeito Joule, dissipação de calor, gerando uma distribuição de temperaturas. O objetivo deste problema é modelar e avaliar o comportamento elétrico e térmico do forno por meio de técnicas de Métodos de Diferenças Finitas (MDF).

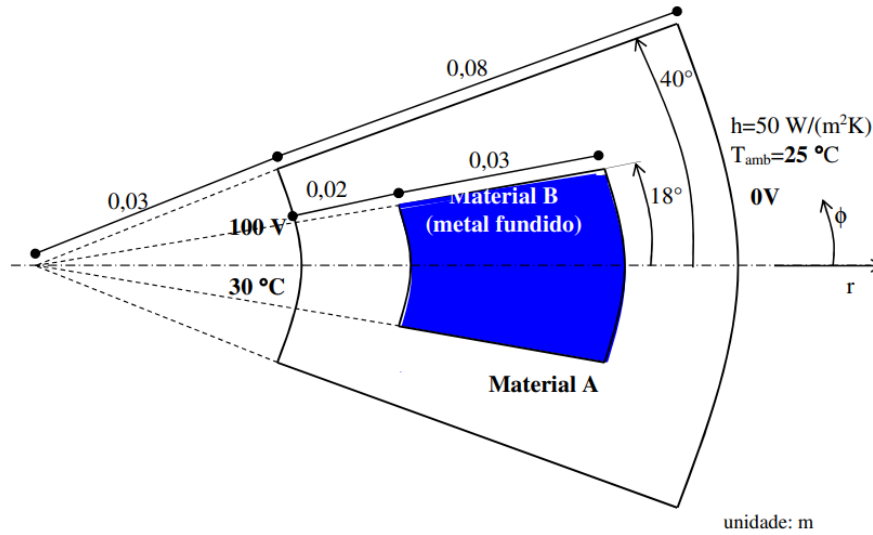


Figura 4: Peça do forno a ser modelada

A equação que rege o comportamento do potencial elétrico na peça é a equação de Laplace, que pode ser conferida em coordenadas cilíndricas na Equação 6, onde  $\sigma$  é a condutividade elétrica do meio, com  $\sigma_A = 5 \cdot 10^{-6}$  e  $\sigma_B = 1 \cdot 10^{-5}$ .

$$\sigma \nabla^2 V = 0 \Rightarrow \sigma \left[ \frac{\partial^2 V}{\partial r^2} + \frac{1}{r} \frac{\partial V}{\partial r} + \frac{1}{r^2} \frac{\partial^2 V}{\partial \phi^2} \right] = 0 \quad (6)$$

Com a distribuição de potencial elétrico conhecida, é possível determinar a densidade de corrente elétrica  $J$  (Equação 7) e a potência elétrica dissipada por efeito Joule  $\dot{q}$  (Equação 8).

$$J = -\sigma \nabla V = -\sigma \left( \frac{\partial V}{\partial r}, \frac{1}{r} \frac{\partial V}{\partial \phi} \right) \quad (7)$$

$$\dot{q} = -\frac{|J|^2}{\sigma} \quad (8)$$

Conhecida a potência elétrica dissipada, é possível então encontrar a distribuição de temperaturas no sistema por meio da Equação 9, onde  $k$  é a condutividade térmica do material, com  $k_A = 110W/(Km)$  e  $k_B = 500W/(Km)$

$$k \left[ \frac{\partial^2 V}{\partial r^2} + \frac{1}{r} \frac{\partial V}{\partial r} + \frac{1}{r^2} \frac{\partial^2 V}{\partial \phi^2} \right] + \dot{q} = 0 \quad (9)$$

## 2.2 Equacionamento e Modelagem computacional

### 2.2.1 Comportamento elétrico

Inicialmente, para resolver a equação diferencial parcial descrita e encontrar os valores do potencial elétrico, utilizou-se MDF para discretizar a equação em uma malha de pontos, aproximando as derivadas para diferenças divididas. Para a discretização em coordenadas polares, é necessário definir um valor de discretização  $\Delta r$  para o raio e  $\Delta \phi$  para o ângulo.

Pela simetria da em torno do eixo  $r$ , é possível simplificar a solução para somente metade da peça da Figura 4, espelhando o resultado para a outra parte. É possível definir 10 condições em que a equação deve ser discretizada, de acordo com as propriedades físicas do problema. A discretização adotada pode ser conferida na Figura 5.

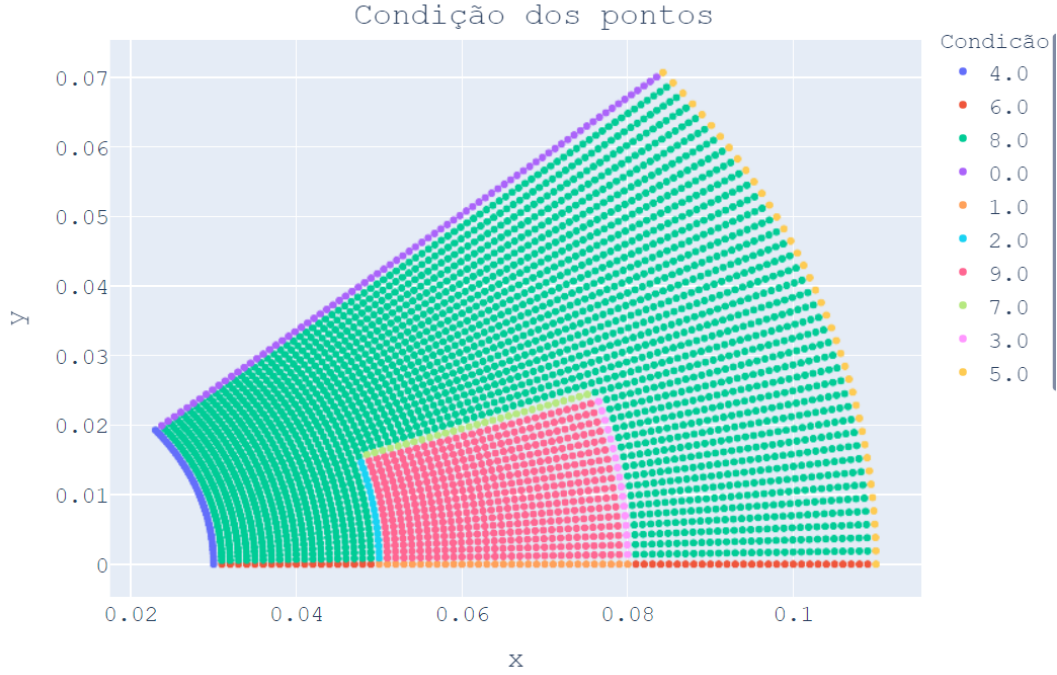


Figura 5: Discretização da peça do forno

A modelagem de cada condição pode ser conferida a seguir:

**Condição 0: borda superior de A**

A primeira e a segunda derivadas na direção radial podem ser aproximadas pelas expressões de diferenças finitas centrais. Neste trabalho, adotou-se o índice  $i$  para representar a coordenada radial e o índice  $j$  para a coordenada angular.

$$\left. \frac{\partial V}{\partial r} \right|_{i,j} = \frac{V_{i+1,j} - V_{i-1,j}}{2\Delta r} \quad \left. \frac{\partial^2 V}{\partial^2 r} \right|_{i,j} = \frac{V_{i+1,j} - 2V_{i,j} + V_{i-1,j}}{\Delta r^2}$$

Por não possuir o valor  $V_{i,j+1}$  na borda superior do material A, é necessário aproximar a expressão da derivada na direção  $\phi$  pela regra de Taylor. Pelas condições de contorno do problema, temos que  $\left. \frac{\partial V}{\partial \phi} \right|_{i,j} = 0$  nesta região. Por Taylor:

$$V_{i,j-1} = V_{i,j} - \Delta r \left. \frac{\partial V}{\partial \phi} \right|_{i,j} + \frac{\Delta r^2}{2} \left. \frac{\partial^2 V}{\partial \phi^2} \right|_{i,j} \Rightarrow \left. \frac{\partial^2 V}{\partial \phi^2} \right|_{i,j} = \frac{2(V_{i,j-1} - V_{i,j})}{\Delta r^2}$$

Substituindo as aproximações das derivadas na Equação 6, temos que, para a condição 0, com  $r_{i,j}$  sendo o raio na coordenada  $(i, j)$ :

$$V_{i,j} = \frac{V_{i+1,j} (\Delta r \Delta \phi^2 r_{ij} + 2\Delta \phi^2 r_{ij}^2) + 4V_{i,j-1} \Delta r^2 + V_{i-1,j} (-\Delta r \Delta \phi^2 r_{ij} + 2\Delta \phi^2 r_{ij}^2)}{4 (\Delta r^2 + \Delta \phi^2 r_{ij}^2)} \quad (10)$$

**Condição 1: borda inferior de B (região de simetria)**

O processo de simetria é semelhante ao desenvolvido para a Condição 1. As derivadas centrais para a direção  $r$  podem ser utilizadas, mas a derivada central na direção  $\phi$  pode ser simplificada ao se observar a simetria da figura ( $V_{i,j-1} = V_{i,j+1}$ ):

$$\left. \frac{\partial^2 V}{\partial \phi^2} \right|_{i,j} = \frac{V_{i+1,j} - 2V_{i,j} + V_{i-1,j}}{\Delta \phi^2} \Rightarrow \left. \frac{\partial^2 V}{\partial \phi^2} \right|_{i,j} = \frac{2V_{i+1,j} - 2V_{i,j}}{\Delta \phi^2}$$

Substituindo as expressões das derivadas na Equação 6, temos:

$$V_{i,j} = \frac{V_{i+1,j} (\Delta r \Delta \phi^2 r_{ij} + 2\Delta \phi^2 r_{ij}^2) + 4V_{i,j+1} \Delta r^2 + V_{i-1,j} (-\Delta r \Delta \phi^2 r_{ij} + 2\Delta \phi^2 r_{ij}^2)}{4 (\Delta r^2 + \Delta \phi^2 r_{ij}^2)} \quad (11)$$

**Condição 2: borda esquerda de B**

Para a borda esquerda de B, é necessário desenvolver a equação para o meio A e para o meio B, usando a condição de continuidade imposta do problema, já que  $V_{i,j-1}$  está no meio A e  $V_{i,j+1}$ . Expandindo por Taylor, pelo meio A, é possível encontrar uma expressão de  $\left. \frac{\partial^2 V}{\partial^2 r} \right|_{i,j}$  para o meio A:

$$\left. \frac{\partial^2 V}{\partial^2 r} \right|_{i,j} = \frac{2}{\Delta r^2} \left( V_{i-1,j} - V_{i,j} + \left. \frac{\partial V}{\partial r} \right|_{i,j}^A \right) \quad (12)$$

Utilizando a fórmula de diferença central para a coordenada  $\phi$  e as fórmulas para as derivadas em  $r$ , é possível desenvolver uma expressão para  $\left. \frac{\partial V}{\partial r} \right|_{i,j}^A$ :

$$\left. \frac{\partial V}{\partial r} \right|_{i,j}^A \left( \frac{2}{\Delta r} + \frac{1}{r} \right) = \frac{-2}{\Delta r^2} (V_{i-1,j} - V_{i,j}) - \frac{1}{r_{i,j}^2} \frac{V_{i,j+1} - 2V_{i,j} + V_{i,j-1}}{\Delta \phi^2}$$

De forma análoga, é possível, por expansão em Taylor, encontrar uma expressão para  $\left. \frac{\partial V}{\partial r} \right|_{i,j}^B$  pelo meio B:

$$\left. \frac{\partial V}{\partial r} \right|_{i,j}^B \left( \frac{-2}{\Delta r} + \frac{1}{r} \right) = \frac{-2}{\Delta r^2} (V_{i+1,j} - V_{i,j}) - \frac{1}{r_{i,j}^2} \frac{V_{i,j+1} - 2V_{i,j} + V_{i,j-1}}{\Delta \phi^2}$$

Temos, da condição de continuidade dos meios,  $\sigma_A \frac{\partial V}{\partial r} \Big|_{i,j}^A = \sigma_B \frac{\partial V}{\partial r} \Big|_{i,j}^B$ . Definindo  $\alpha = \sigma_A(\frac{2}{\Delta r} + \frac{1}{r})$  e  $\beta = \sigma_B(\frac{-2}{\Delta r} + \frac{1}{r})$ , é possível chegar na seguinte expressão para  $V_{i,j}$ :

$$V_{i,j} = \frac{2r_{ij}\Delta\phi^2(\alpha V_{i-1,j} - \beta V_{i+1,j}) + (\alpha - \beta)\Delta r^2(V_{i,j+1} + V_{i,j-1})}{2(\alpha - \beta)(r_{ij}^2\Delta\phi^2 + \Delta r^2)} \quad (13)$$

### Condição 3: borda direita de B

Para a borda direita de B, também é necessário fazer a condição de continuidade entre os meios, com desenvolvimento análogo à condição 2. Para simplificação, é possível adotar a Equação 13 na borda direita, adotando  $\alpha = \sigma_B(\frac{-2}{\Delta r} + \frac{1}{r})$  e  $\beta = \sigma_A(\frac{2}{\Delta r} + \frac{1}{r})$ .

### Condição 4: borda esquerda de A e Condição 5: borda direita de A

Temos, pelas condições de contorno, que, na borda esquerda de A,  $V_{i,j} = 100 \text{ V}$  e na borda direita de A,  $V_{i,j} = 0 \text{ V}$ .

### Condição 6: borda inferior de A (região de simetria)

Para a região de simetria da borda inferior de A, o equacionamento é idêntico ao desenvolvido para a condição 1. Dessa forma, a equação final para este caso também é a Equação 11.

### Condição 7: borda superior de B

A borda superior de B tem desenvolvimento análogo às condições 2 e 3, mas, nesta condição, a continuidade é dada por  $\sigma_A \frac{\partial V}{\partial \phi} \Big|_{i,j}^A = \sigma_B \frac{\partial V}{\partial \phi} \Big|_{i,j}^B$ . Expandindo por Taylor para determinar uma expressão de  $\frac{\partial^2 V}{\partial \phi^2} \Big|_{i,j}$  e substituindo na Equação 6, tanto para A quanto para B, e utilizando a equação de continuidade, chegamos na seguinte equação:

$$V_{i,j} = \frac{(\Delta\phi^2\Delta r\sigma_A r_{ij} + \Delta\phi^2\Delta r\sigma_B r_{ij} + 2\Delta\phi^2\sigma_A r_{ij}^2 + 2\Delta\phi^2\sigma_B r_{ij}^2)V_{i+1,j} + 4\Delta r^2\sigma_A V_{i,j+1}}{4(\sigma_A + \sigma_B)(\Delta\phi^2 r_{ij}^2 + \Delta r^2)} + \frac{(-\Delta\phi^2\Delta r\sigma_A r_{ij} - \Delta\phi^2\Delta r\sigma_B r_{ij} + 2\Delta\phi^2\sigma_A r_{ij}^2 + 2\Delta\phi^2\sigma_B r_{ij}^2)V_{i-1,j} + 4\Delta r^2\sigma_B V_{i,j-1}}{4(\sigma_A + \sigma_B)(\Delta\phi^2 r_{ij}^2 + \Delta r^2)} \quad (14)$$

### Condição 8: interior de A

Para o interior do material A, é possível utilizar as diferenças finitas centrais nas coordenadas  $r$  e  $\phi$ . Dessa forma, a equação fica:

$$V_{i,j} = \frac{V_{i+1,j} (\Delta r \Delta \phi^2 r_{ij} + 2\Delta \phi^2 r_{ij}^2) + 2V_{i,j+1} \Delta r^2 + 2V_{i,j-1} \Delta r^2 + V_{i-1,j} (-\Delta r \Delta \phi^2 r_{ij} + 2\Delta \phi^2 r_{ij}^2)}{4 (\Delta r^2 + \Delta \phi^2 r_{ij}^2)} \quad (15)$$

### Condição 9: interior de B

De forma análoga à condição 8, é possível utilizar diretamente as fórmulas de diferenças finitas centrais. Para esta condição, o equacionamento final também é a Equação 15.

Cada expressão de  $V_{i,j}$  foi utilizada para calcular o valor da tensão real de forma iterativa, utilizando-se o Método de Liebmann com sobre-relaxação, que pode ser conferido na Equação 16. Nela, o  $V_{i,j}$  é o valor calculado pela expressão correspondente de cada caso e  $V_{i,j}^{velho}$  o valor armazenado da iteração anterior. Na inicialização, todos os valores iniciam-se zerados. O cálculo do erro relativo e o critério de parada para um erro desejado  $\varepsilon_{des}$  também podem ser conferidos na Equação 16.

$$V_{i,j}^{novo} = \lambda V_{i,j} + (1 - \lambda) V_{i,j}^{velho} \quad |(\varepsilon_a)_{max}| = \max_{\substack{1 \leq j \leq m \\ 1 \leq i \leq n}} \left| \frac{V_{i,j}^{novo} - V_{i,j}^{velho}}{V_{i,j}^{novo}} \right| < \varepsilon_{des} \quad (16)$$

Após encontrar a tensão elétrica de cada um dos pontos da malha, é possível então definir o valor da densidade de corrente  $J$ . Para isso definiu-se as variáveis  $Q_r = \sigma \frac{\partial V}{\partial r}$  e  $Q_\phi = \sigma \frac{1}{r_{ij}} \frac{\partial V}{\partial \phi}$ , com  $J = -(Q_r, Q_\phi)$ .

Para  $Q_r$ , utilizou-se as aproximações das derivadas pela fórmula de diferença central de 2 pontos. Para os pontos em que não é possível utilizar a diferença central (condições **2**, **3**, por se tratarem de regiões de fronteira de materiais, **4**, **5** por se tratarem de bordas), utilizou-se as diferenças progressiva e regressiva de 3 pontos, respectivamente. As fórmulas podem ser conferidas a seguir:

$$Q_r = \begin{cases} \sigma \frac{-V_{i+2,j} + 4V_{i+1,j} - 3V_{i,j}}{2\Delta r} & \text{(progressiva)} \\ \sigma \frac{3V_{i,j} - 4V_{i-1,j} + V_{i-2,j}}{2\Delta r} & \text{(regressiva)} \\ \sigma \frac{V_{i+1,j} - V_{i-1,j}}{2\Delta r} & \text{(central)} \end{cases} \quad (17)$$

Analogamente, para  $Q_\phi$ , adotou-se a diferença regressiva nas condições **7**, por se tratar de fronteira de material, e **0**, por se tratar da borda superior. Utilizou-se a

diferença central nos interiores dos materiais. Para a região de simetria da figura (condições **1, 6**), temos que  $V_{i,j-1} = V_{i,j+1}$ , dessa forma,  $Q_\phi = 0$  na linha de simetria. As expressões da derivada regressiva e central são análogas às presentes na Equação 17, porém variando o índice  $j$ .

Por fim, com os valores de  $Q_r$  e  $Q_\phi$  é possível definir o vetor  $J$  em cada um dos pontos da malha e, por meio da Equação 8, definir também os valores de  $\dot{q}(i, j)$ , que serão utilizados para avaliar o comportamento térmico da peça.

Com o valor da densidade de corrente  $J$ , temos o valor da corrente elétrica média que passa no sistema. A corrente é definida pela seguinte expressão:

$$I_m = \int_A J \cdot ndS \quad (18)$$

Temos, para o sistema, que a direção normal se trata da direção radial do sistema. Dessa forma, é possível, utilizando-se da Regra dos Trapézios para integração numérica, calcular a corrente elétrica pela seguinte expressão, considerando a espessura do material como unitária:

$$I_m = 2 \cdot r_{ij} \int J_r d\phi \Rightarrow I_m = 2 \cdot r_{ij} \sum_{i=1}^m \frac{(J_r^i + J_r^{i-1}) \Delta\phi}{2} \quad (19)$$

Para encontrar o valor da resistência elétrica do bloco, é necessário duplicar o valor de  $I_m$  encontrado, pois a integral só é realizada em metade da peça com relação a  $\phi$ . Temos também que  $\Delta V = 100 \text{ V}$ , permitindo o cálculo da resistência por  $R = \frac{\Delta V}{2I_m}$ .

### 2.2.2 Comportamento térmico

A equação que rege o comportamento térmico é a Equação 9. É possível observar a semelhança com a Equação 6, com o acréscimo do termo  $\dot{q}$ , calculado por meio da densidade de corrente. É necessário observar que o sinal de  $\dot{q}$  encontrado nas equações elétricas é o inverso do sinal utilizado nas equações térmicas. Do ponto de vista elétrico,  $\dot{q}$  é energia saindo do sistema por meio do Efeito Joule, enquanto, do ponto de vista térmico,  $\dot{q}$  é calor sendo adicionado ao sistema.

É possível utilizar as mesmas 10 condições descritas pela Figura 3, e adaptar as equações encontradas para o caso térmico.

Para a **condição 8 - interior de A**, por exemplo, temos, utilizando as aproximações anteriores para as derivadas:

$$\frac{T_{i+1,j} - 2T_{i+1,j} + T_{i-1,j}}{\Delta r^2} + \frac{1}{r_{ij}} \frac{T_{i+1,j} - T_{i-1,j}}{2\Delta r} + \frac{1}{r_{ij}^2} \frac{T_{i,j+1} - 2T_{i,j} + T_{i,j-1}}{\Delta \phi^2} + \frac{\dot{q}_{ij}}{k_A} = 0 \Rightarrow$$

$$T_{i,j} = \frac{T_{i+1,j} (\Delta r \Delta \phi^2 r_{ij} + 2\Delta \phi^2 r_{ij}^2) + 2T_{i,j+1} \Delta r^2 + 2T_{i,j-1} \Delta r^2 + T_{i-1,j} (-\Delta r \Delta \phi^2 r_{ij} + 2\Delta \phi^2 r_{ij}^2)}{4(\Delta r^2 + \Delta \phi^2 r_{ij}^2)} +$$

$$+ \frac{2\Delta r^2 \Delta \phi^2 r_{ij}^2 \dot{q}_{ij}}{4k_A (\Delta r^2 + \Delta \phi^2 r_{ij}^2)}$$

Nota-se que a expressão anterior é a Equação 15 acrescida de um fator com o  $\dot{q}$ . De forma análoga, para as condições **(0, 1, 6, 8, 9)**, verificou-se que é possível utilizar as mesmas equações desenvolvidas para o caso elétrico, acrescentando-se o fator  $\frac{2\Delta r^2 \Delta \phi^2 r_{ij}^2 \dot{q}_{ij}}{k_i}$ , onde  $k_i$  é a condutividade térmica do material correspondente.

Para as condições de fronteira entre materiais **(2, 3, 7)**, ao se adotar a condição de continuidade dos meios  $A \frac{\partial T}{\partial r} \Big|_{i,j}^A = k_B \frac{\partial T}{\partial r} \Big|_{i,j}^B$  para 2 e 3 e  $k_A \frac{\partial T}{\partial \phi} \Big|_{i,j}^A = k_B \frac{\partial T}{\partial \phi} \Big|_{i,j}^B$  para 7, despreza-se a energia gerada nesta fronteira. Dessa forma, para estas três condições, as equações utilizadas são as mesmas desenvolvidas para a parte elétrica, ajustando-se as constantes de  $\sigma_a$  e  $\sigma_b$  para  $k_A$  e  $k_B$ .

Para a condição **4**, borda esquerda de A, é necessário somente alterar o valor da condição  $T_{i,j} = 30^\circ C$ .

Para a condição **5**, da borda direita de A, não há mais uma condição de contorno de *Dirichelet*, com um valor fixo, mas uma condição de *Von Neumann*, pois há o fenômeno de convecção na parede externa da peça. Temos, pela continuidade do fluxo térmico:

$$\dot{q}_{cond} = \dot{q}_{conv} \Rightarrow k_A \frac{\partial T}{\partial r} \Big|_{i,j} = h(T_{i,j} - T_{amb})$$

É possível, pela expansão por Taylor, encontrar também uma expressão para a segunda derivada de T:

$$\frac{\partial^2 T}{\partial r^2} \Big|_{i,j} = \frac{2}{\Delta r^2} \left( -T_{i,j} + T_{i-1,j} - \frac{\Delta r h (-T_{amb} + T_{i,j})}{k_A} \right)$$

Com as expressões anteriores e usando a fórmula da segunda diferença central para a coordenada  $\phi$ , chegamos na seguinte expressão:



$$T_{i,j} = \frac{T_{amb} (\Delta r^2 \Delta \phi^2 h r_{ij} + 2 \Delta r \Delta \phi^2 h r_{ij}^2) + T_{i,j+1} \Delta r^2 k_A + T_{i,j-1} \Delta r^2 k_A +}{\Delta r^2 \Delta \phi^2 h r_{ij} + 2 \Delta r^2 k_A + 2 \Delta r \Delta \phi^2 h r_{ij}^2 + 2 \Delta \phi^2 k_A r_{ij}^2} +$$

$$+ \frac{2 T_{i-1,j} \Delta \phi^2 k_A r_{ij}^2 + \Delta r^2 \Delta \phi^2 \dot{q} r_{ij}^2}{\Delta r^2 \Delta \phi^2 h r_{ij} + 2 \Delta r^2 k_A + 2 \Delta r \Delta \phi^2 h r_{ij}^2 + 2 \Delta \phi^2 k_A r_{ij}^2}$$

Com as expressões da temperatura e por meio do método de Liebmann, é possível, de forma análoga à parte elétrica, encontrar os valores das temperaturas na malha. Com os valores de temperatura é possível então encontrar o vetor fluxo de calor no interior da peça.

O fluxo de calor é definido de forma análoga ao vetor densidade de corrente elétrica e sua fórmula pode ser conferida a seguir:

$$Q = -k \nabla T = -k \left( \frac{\partial T}{\partial r}, \frac{1}{r_{ij}} \frac{\partial T}{\partial \phi} \right) \quad (20)$$

Pela semelhança com a Equação 7, podemos definir  $Q_r = k \frac{\partial T}{\partial r}$  e  $Q_\phi = k \frac{1}{r_{ij}} \frac{\partial T}{\partial \phi}$ , com  $Q = -(Q_r, Q_\phi)$ . O cálculo de  $Q_r$  e  $Q_\phi$  é feito com as mesmas expressões e condições de suas variáveis equivalentes para o caso elétrico.

Por fim, é necessário calcular a quantidade de calor que flui pela parede de convecção (borda direita de A). A quantidade de calor é calculada por:

$$q_{conv} = \int_A Q \cdot n dS \quad (21)$$

Por sua semelhança com a Equação 19, é possível usar o mesmo método para calcular a integral:

$$q_{conv} = 2 \cdot r_{ij} \int_A Q_r d\phi \Rightarrow q_{conv} = 2 \cdot r_{ij} \sum_{i=1}^m \frac{(Q_r^i + Q_r^{i-1}) \Delta \phi}{2} \quad (22)$$

## 2.3 Resultados e Discussões

Após a realização das simulações e análise dos valores gerados, diversos resultados e conclusões foram passíveis de serem realizadas, o que nos permite responder as questões elaboradas. Contudo, nota-se que, dado a escala de grandeza dos valores de condutividade elétrica do material, alguns dos resultados não representam a situação real de um

forno industrial. Vendo assim, uma necessidade de alterar os valores de condutividade para aproximar a casos mais próximos do real, em especial na elaboração dos resultados térmicos. Tendo em vista os valores em  $\sigma_A$  e  $\sigma_B$  alteram consideravelmente a magnitude da potência elétrica dissipada por efeito Joule ( $\dot{q}$ ).

Tendo isso em consideração, se atualizarmos o valor da condutividade elétrica para valores maiores  $\sigma_{Anovo} = \sigma_A \cdot 10^6$  e  $\sigma_{Bnovo} = \sigma_B \cdot 10^6$ , teremos gráficos e resultados com valores mais expressivos e lógicos. Portanto, foi-se utilizado esses valores para os demais resultados das simulações.

### 2.3.1 Definição para o tamanho de malha

Com a realização de diferentes testes, foi-se experimentado amplamente os resultados dos experimentos para 3 valores diferentes de malhas, interpretadas como pequena, média e grande:

Tipo de Malha	Valor de $d_r$	Valor de $d_\phi$	Tamanho da malha
Pequena	0.005	2 graus	(17,21)
Média	0.001	1 grau	(81,41)
Grande	0.0005	0.5 grau	(161,81)

Para a malha pequena, apesar de sua alta velocidade de execução, seus resultados em relação aos valores vetoriais (densidade de corrente  $J(r, \phi)$  e fluxo de calor  $Q(r, \phi)$ ) mostram-se extremamente deformados em relação a direção em decorrência do baixo número de iterações. Ademais, com o tamanho reduzido da malha, os valores da potência dissipada não se diferenciam tão expressivamente com a mudança de material. Portanto, esse valor de malha foi desconsiderado.

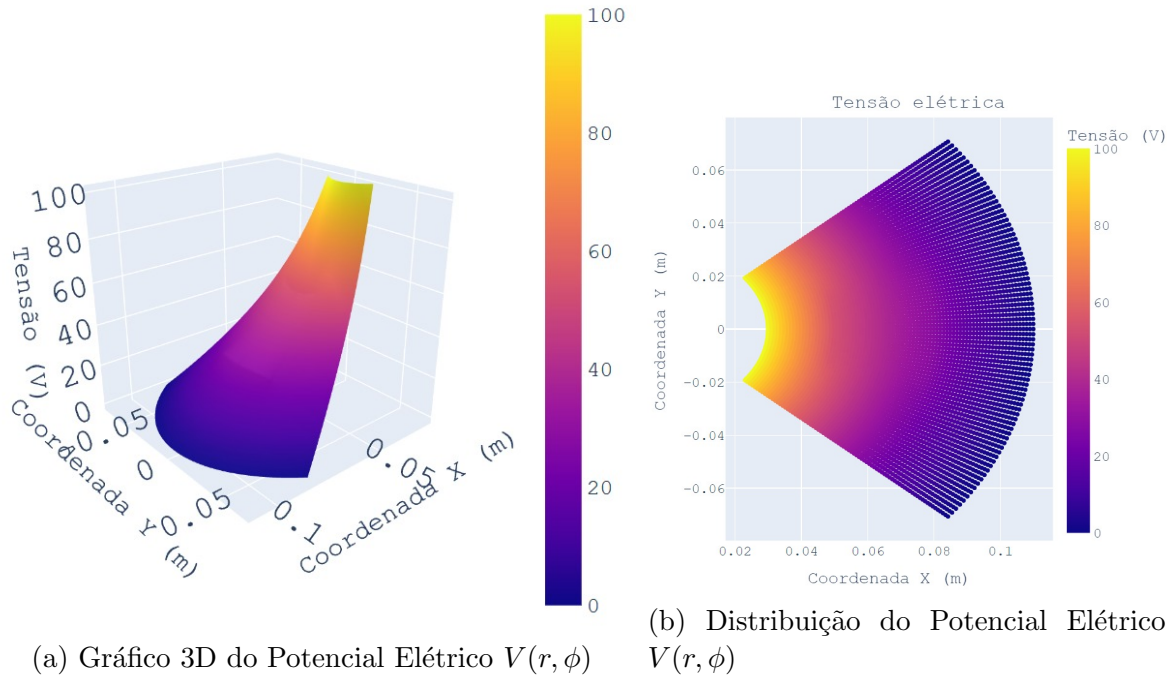
Para a malha grande, a velocidade de execução do código em comparação com os testes da malha média e pequena foram muito maiores em quase 2 ordens de grandeza. Contudo, na análise dos resultados (discutidos a seguir), suas simulações foram extremamente parecidas com o caso médio, o que levou o caso da malha grande a ser descartado.

Por fim, foi possível escolher a malha média, uma vez que, ao apresentar valores intermediários, consegue ser executada com velocidades próximas a malha pequena, mas apresentando resultados extremamente similares com a malha grande, justificando a escolha.

## 2.3.2 Resultados do comportamento elétrico

### 2.3.2.1 Distribuição do Potencial Elétrico $V(r, \phi)$ e impacto da discretização

Partindo da matriz nula (com valores iguais a zero) e aplicando o **Método de Liebman** com as condições de contorno desenvolvidas em 2.2.1, foi possível obter a seguinte distribuição geral da tensão  $V(r, \phi)$  :



Com base na Figura 6a, é possível notar que os valores encontrados seguem as condições de Dirichlet impostas no equacionamento (partindo de uma tensão  $V = 100 \text{ V}$  para valores de  $r = 0.03\text{m}$ , até uma tensão de  $V = 0 \text{ V}$  em valores  $r = 0.11\text{m}$ ).

Ademais, há de se perceber uma leve inclinação no início do material B, evidenciada na Figura 7, quando comparado com o material A. Isso pode ser explicado pela diferença da condutividade entre eles: como o material B apresenta uma condutividade maior e, portanto, uma menor resistividade à tensão elétrica, a queda de tensão torna-se menos intensa no interior desse material, comprovando a teoria do sistema elétrico por meio da simulação prática.

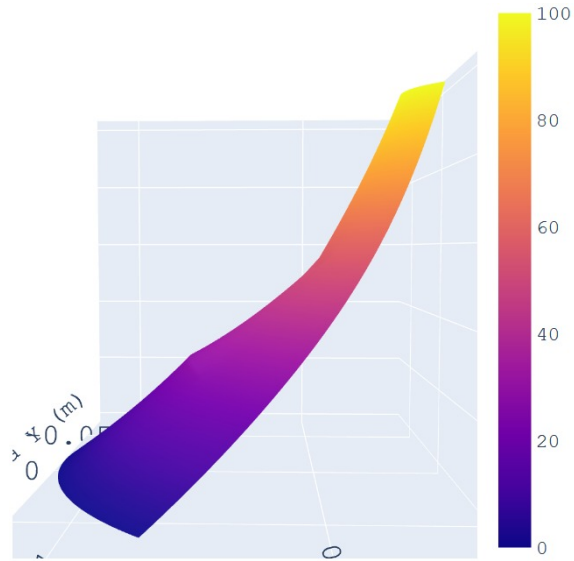


Figura 7: Gráfico do Potencial Elétrico ( $Vr, \phi$ ) evidenciando a diferença de queda de tensão entre materiais

### 2.3.2.2 Distribuição da Potência Elétrica Dissipada

Com a obtenção dos valores do potencial em todo o espaço, foi possível estimar os valores da densidade de corrente elétrica e de potência dissipada utilizando novamente o Método das diferenças finitas utilizando condições vistas em 2.2.1. Tendo isso em consideração, foi possível produzir as distribuições da potência dissipada, vista na Figura 8:

### Fonte de calor equivalente

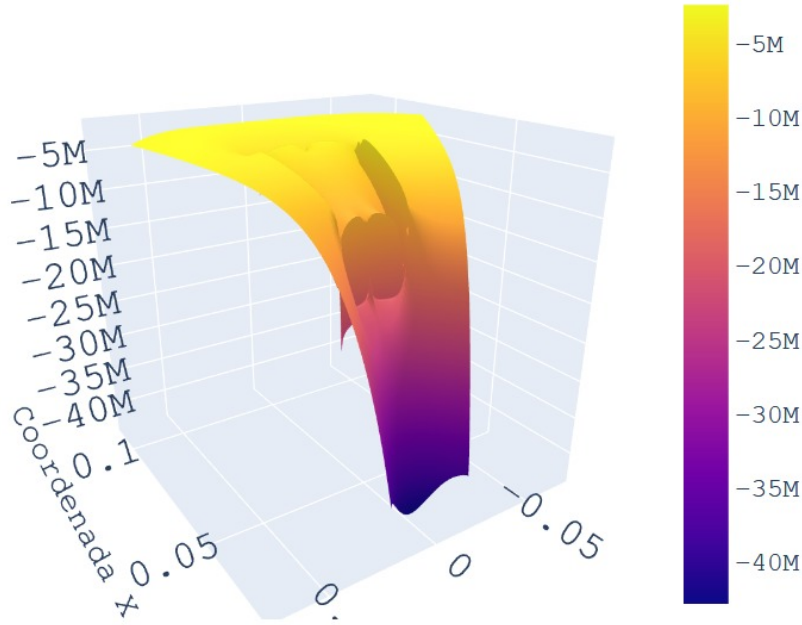


Figura 8: Gráfico da Potência Dissipada  $\dot{q}(r, \phi)$  [ $W/m^3$ ])

Ao analisar o gráfico, é possível notar que sua forma faz sentido físico, tendo em vista que o material B, por apresentar maior condutibilidade elétrica, acaba por dissipar mais energia, o que pode ser verificado no gráfico. Percebe-se que os valores de potência dissipada são maiores em ponto com maior tensão (e consequentemente corrente).

Ademais, deve-se perceber que, para o gráfico, o valor de potência dissipada é evidenciado com valor negativo, uma vez que a energia está saindo do sistema elétrico. Contudo, quando utilizarmos a distribuição para gerar os valores de temperatura, esse valor deve ser positivo no sentido de adicionar energia no sistema térmico.

#### 2.3.2.3 Densidade de Corrente Elétrica

Assim como a potência dissipada, o vetor de Densidade de Corrente Elétrica para cada ponto foi elaborado pela utilização do MDF com as condições da primeira derivada, realizando o processo separadamente para a componente em  $r : Q_r$  e  $\phi : Q_\phi$ . Após o fim das iterações sobre a matriz, tivemos o resultado dado pelo Quiver plot da figura 9.

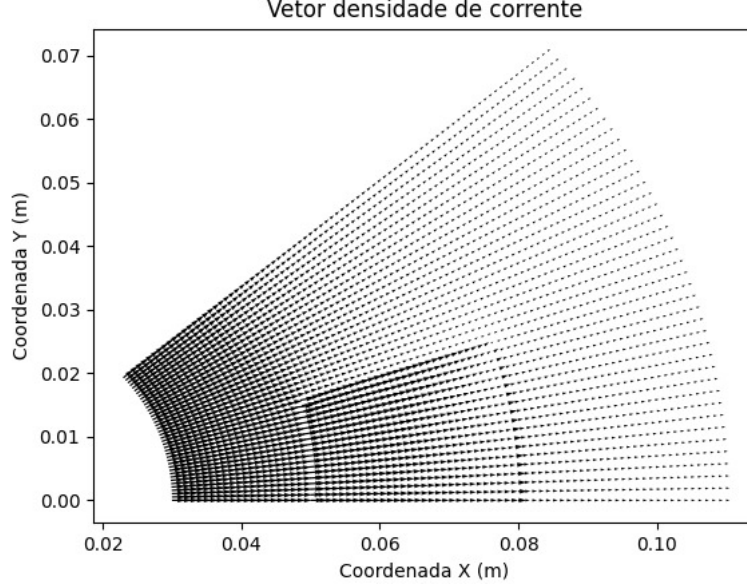


Figura 9: Quiver plot do vetor densidade de corrente elétrica  $J(r, \phi)$  em  $A/m^2$

Com base no gráfico, é possível perceber que a densidade de corrente flui da região de maior potencial para a região de menor potencial (fisicamente acurado). Outrossim é possível notar o maior módulo dos vetores na região de B quando comparado com os vetores em A com o mesmo valor de raio, processo que também justifica o valor maior na potência dissipada, comentada anteriormente.

Por fim, é também possível perceber que a componente no sentido de  $Q_r$  é consideravelmente maior do que a componente  $Q_\phi$  no sentido angular, tendo em vista que as condições que realizam o movimento de corrente (diferença de potencial), estão distribuídas uniformemente em relação aos ângulos ( $V = 100$  para todo  $\phi$  no início do fogão, e igual à 0V no contorno).

#### 2.3.2.4 Estimativa do valor médio de corrente e resistência média

Após a conclusão da estimativa de  $J$ , foi possível a construção de um método para o cálculo da integral que obtém o valor da corrente média  $I_m$ . Como dito na secção 2.2.1, o cálculo da integral pela estimação da soma dos trapézios (já duplicada) foi de:

$$I_m(r_{max}) = 1189.2595A \quad (23)$$

$$I_m(r_{min}) = 1152.6803A \quad (24)$$

Como o cálculo da integral poderia ser realizado para  $r = 0.03m$  e  $r = 0.11m$ , foi-se calculado ambas e o resultado final considerado foi a média das duas. Para os valores do enunciado original, portanto:

$$I_m = 1170.9698A \quad (25)$$

Com o valor de  $I_m$ , podemos, por extensão, encontrar o valor da resistência equivalente:

$$R_{eq} = \frac{\Delta V}{I_m} = \frac{100}{1170.9698} = 0.08539\Omega \quad (26)$$

### 2.3.3 Resultados do comportamento térmico

#### 2.3.3.1 Distribuição da Temperatura no forno $T(r, \phi)$

Com a distribuição estimada da potência dissipada pelo sistema elétrico, além das condições de contorno das temperaturas e da convecção, é possível, na mesma função utilizada para o caso elétrico (visto em:5), definir a distribuição da temperatura no material, que pode ser conferida na Figura 10.

## Temperatura dos Pontos do Forno

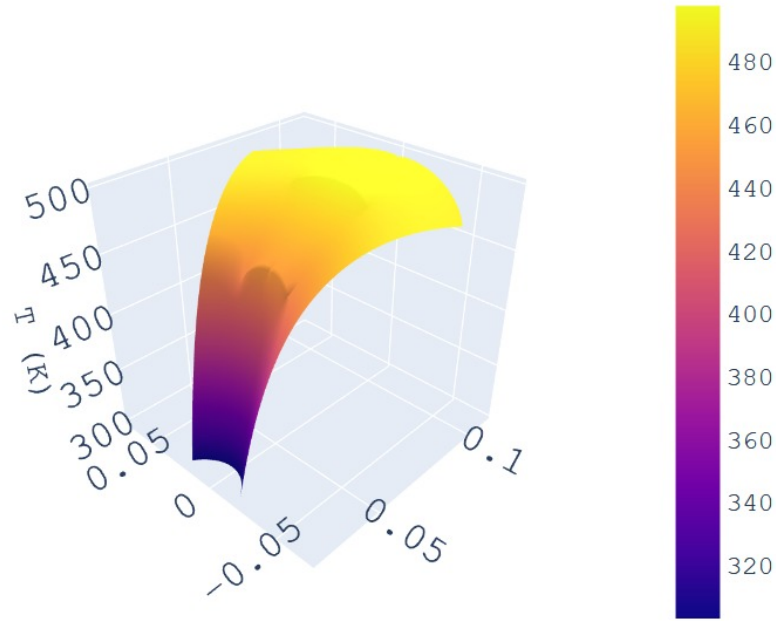


Figura 10: Plot da distribuição da temperatura  $T(r, \phi)$  em  $K$

Primeiramente, é possível notar, na Figura 11, o impacto claro de  $\dot{q}$  na temperatura pela semelhança clara do formato das distribuições.

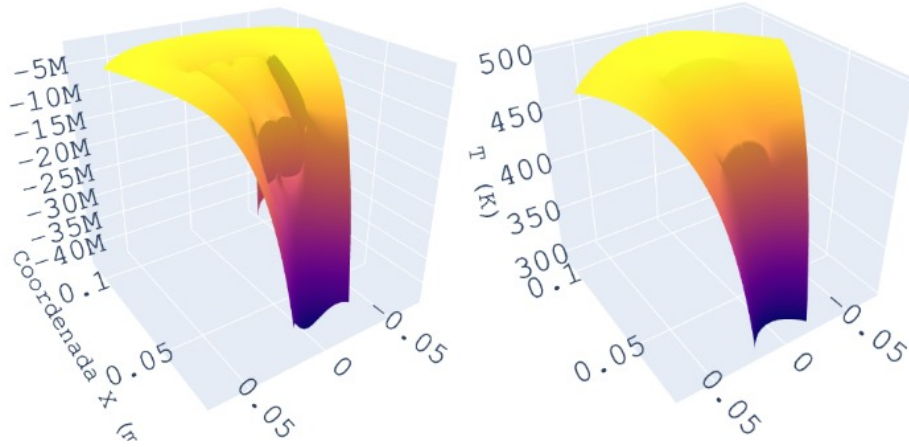


Figura 11: Comparação entre  $T(r, \phi)$  e  $\dot{q}(r, \phi)$

Ademais, é possível perceber que a distribuição de temperaturas simulada apresenta pleno sentido físico, uma vez que respeita a condição de contorno em  $r = 0.03m$  e



demonstra um crescimento claro com o aumento da potência dissipada até o limite  $r_{max} = 0.11$ .

Por fim, vê-se o comportamento coerente no material B, apresentando uma temperatura maior do que os pontos no material A de mesmo raio, tendo em vista na região B apresenta maior potência dissipada, como explicado na secção anterior (2.3.2.2).

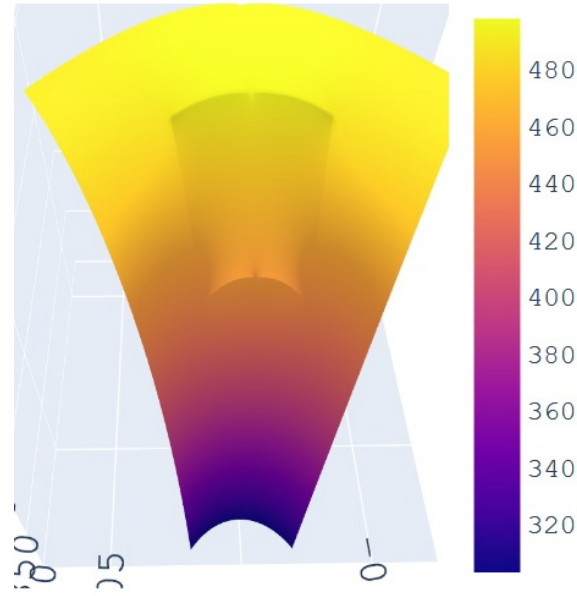


Figura 12: Diferença entre materiais e impacto na temperatura

### 2.3.3.2 Distribuição dos vetores de fluxo de calor

Com os resultados de  $T(r, \phi)$ , é possível, utilizando a mesma função desenvolvida na definição da Densidade de Corrente a partir de  $V(r, \phi)$ , determinar a distribuição vetorial do fluxo de calor, bastando apenas alterar o fator multiplicativo das derivadas de  $\sigma$  para  $k$ .

Assim, pode-se obter os seguintes resultados do *quiver plot* na Figura 13:

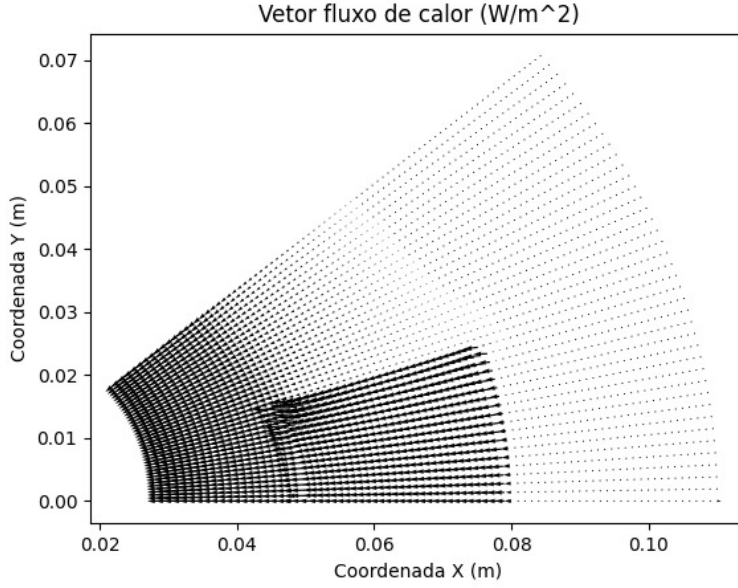


Figura 13: Gráfico vetorial do fluxo de calor  $Q(r, \phi)$

Ao analisar o resultado simulado, foi possível analisar que o fluxo de calor apresenta um módulo grande (que precisou ser normalizado no gráfico quiver para ter mais legibilidade). Além disso, vemos que a direção do fluxo térmico apresenta sentido físico correto, tendo em vista que, no material B, seu módulo é superior para o mesmo raio no material A, o que pode ser explicado pelas magnitudes das condutividades térmicas, pois  $k_A < k_B$ , implicando em maiores valores de transferência de energia térmica.

### 2.3.3.3 Quantidade de calor que flui pela parede de convecção

Por fim, com o valor de fluxo térmico determinado, a definição da quantidade de calor que flui pela parede de convecção torna-se um problema análogo a definição de corrente média por meio da densidade de corrente elétrica. Isso ocorre uma vez que as integrais são aplicadas da mesma forma e pode ser desenvolvidas para a mesma superfície, permitindo assim, que seja possível realizar o cálculo com a mesma função programada anteriormente, apenas alterando os fatores multiplicativos de  $\sigma_A$  para  $k_A$ .

Com isso, obtemos os resultados, para  $k_A = 100$  e  $k_B = 500$ :

$$q_{conv} = 7559.571W \quad (27)$$

### 3 Conclusões

Por meio deste exercício-programa, foi possível aplicar os conceitos de métodos numéricos aplicados à engenharia para a resolução de problemas com equações diferenciais e de equações diferenciais parciais.

Na primeira parte do problema, foi possível aplicar o método de Runge-Kutta para solucionar equações diferenciais que ditam o comportamento elétrico de um circuito. Nota-se a facilidade e a versatilidade do método, capaz de resolver diversas equações diferenciais que muitas vezes não possuem soluções analíticas de uma forma prática e eficiente. Ao se utilizar o método, é possível alterar propriedades físicas do sistema e rapidamente obter o novo comportamento, característica desejável em projetos de engenharia.

Vale-se destacar a importância do passo utilizado no algoritmo, pois sua escolha influencia diretamente na resolução obtida. Um passo muito grande não é capaz de gerar soluções coerentes e muitas vezes pode divergir. Por outro lado, um passo muito pequeno gera um algoritmo de execução lenta e cujo aumento de detalhe na resolução não seja relevante para a análise. É necessário então assumir uma solução de compromisso, com um passo capaz de fornecer os dados esperados, em um tempo de execução razoável.

Na segunda parte do problema, foi possível implementar um sistema complexo, regido por uma equação diferencial parcial em uma malha bidimensional, de forma numérica com o auxílio do Método de Elementos Finitos. Este exercício possibilitou a avaliação do comportamento da solução numérica sob o efeito de diversos tamanhos de malha e discretização, mostrando que, assim como para o passo no algoritmo de Runge Kutta, é necessário assumir uma solução de compromisso.

O uso das técnicas de MDF se mostrou versátil para a resolução do problema, pois, uma vez que as variáveis primárias são modeladas e calculadas, o cálculo das variáveis secundárias é simples e direto. Dessa forma, o método permite que se obtenha diversas informações relevantes sobre um sistema complexo e de difícil solução analítica, e, por se tratar de uma tarefa computacional, permite a análise da influência dos parâmetros de forma fácil e prática. A simulação do forno também permitiu visualizar e entender como as características elétricas e térmicas de diferentes materiais podem ser utilizadas de modo a causar diferentes efeitos para cumprir um objetivo requisitado no projeto.

Outrossim, até mesmo os erros encontrados e solucionados durante a criação dos

programas agregaram grande aprendizado para a formação na engenharia. Evidenciando, por exemplo, a propagação de erros nos equacionamentos, ao serem somados em grandes malhas, geram resultados finais muito destoantes da realidade.

## 4 Listagem de códigos

### 4.1 Parte 1 - Método de Runge Kutta

#### 4.1.1 Implementação do RK4

Listing 1: Implementação do RK4

```
1 import numpy as np
2 import matplotlib.pyplot as plt
3
4 class RK4():
5     '''
6     Implementao do RK4 classico
7     '''
8     def __init__(self: object, func: np.array, step: float, x0: float, y0: np.array)
9         :
10         self.func = func #espera funcao de x e y
11         self.step = step #assume step fixo
12         self.x0 = x0 #valor da variavel independente
13         self.y0 = y0 #vetor da variavel dependente
14
15     def _compute_step(self, x, y):
16
17         #calcula constantes seguindo RK4 classico
18         k1 = self.func(x, y)
19
20         k2 = self.func(x + self.step/2, y + self.step/2 * k1)
21
22         k3 = self.func(x + self.step/2, y + self.step/2 * k2)
23
24         k4 = self.func(x + self.step, y + self.step * k3)
25
26         return y + self.step/6 * (k1 + 2 * k2 + 2 * k3 + k4)
27
28     def solve(self, n_steps):
29
30         #formato do vetor: vec_y[instante, variavel]
31         vec_y = np.zeros(shape=(n_steps, self.y0.shape[0]))
```

```

32     vec_y[0, :] = self.y0
33
34     vec_x = np.zeros(shape=(n_steps,))
35     vec_x[0] = self.x0
36
37     for i in range(0, n_steps-1, 1):
38
39         vec_y[i + 1, :] = self._compute_step(vec_x[i], vec_y[i, :])
40         vec_x[i + 1] = vec_x[i] + self.step
41
42     return vec_x, vec_y
43
44
45
46 if __name__ == '__main__':
47
48     def f(x, y):
49         return np.array([
50             -0.5*y[0],
51             4 - 0.3*y[1] - 0.1*y[0]
52         ])
53
54     x0 = 0
55     y0 = np.array([4, 6])
56     h = 0.5
57
58     runge = RK4(f, h, x0, y0)
59     x, y = runge.solve(3)
60
61     plt.plot(x, y[:, 0])
62     plt.plot(x, y[:, 1])
63     plt.show()

```

#### 4.1.2 Implementação da solução do circuito

Listing 2: Implementação da solução do circuito

```

1 import numpy as np
2 from runge_kutta import RK4
3 import matplotlib.pyplot as plt

```

```

4
5 # variaveis globais
6 Lb = 0.5
7 Rb = 20
8 C = 0.002
9 La = 0.01
10 Ra = 200
11
12
13 def e(t):
14     #funcao da corrente eletrica
15     return np.cos(t * 600) / La
16
17
18 def f(t, Y):
19     '''
20     O vetor de variaveis dependentes dado por:
21
22         / ----- /
23         / q(t) /
24     Y(t) = / i_1(t) /
25             / i_2(t) /
26         / ----- /
27     '''
28
29     return np.array([
30         Y[1] - Y[2],
31         1 / La * (e(t) - Ra * (Y[1] - Y[2])) - Y[0] / C,
32         1 / Lb * (Ra * (Y[1] - Y[2])) - Rb * Y[2] + Y[0] / C)
33     ])
34
35
36 if __name__ == '__main__':
37     delta_t = 0.0001
38     t0 = 0
39
40     tmax = 0.1
41
42     n_steps = int(tmax / delta_t) #define numero de steps de integracao
43
44     Y0 = np.array([

```

```

45     0,
46     0,
47     0
48 ])
49
50 edo = RK4(func=f, step=delta_t, x0=t0, y0=Y0)
51
52 #resolve sistema por RK4 com o numero de steps definido
53 t_int, y_int = edo.solve(n_steps)
54
55 #calcula a derivada de [Y] por meio de [F]
56 ydot_int = np.array([f(t_int[i], y_int[i, :]) for i in range(len(t_int))])
57
58 #define constantes para multiplicar cada uma das respostas
59 plot_scalars = {
60     'q': 1e5,
61     'i_1': 1e2,
62     'i_2': 1e2,
63     '\dot{i}_1': 0.1,
64     '\dot{i}_2': 0.1,
65 }
66
67 #plot dos valores
68
69 plt.plot(t_int, y_int[:, 0] * plot_scalars['q'])
70 plt.plot(t_int, y_int[:, 1] * plot_scalars['i_1'])
71 plt.plot(t_int, y_int[:, 2] * plot_scalars['i_2'])
72
73 #plot das derivadas
74 plt.plot(t_int, ydot_int[:, 1] * plot_scalars['\dot{i}_1'])
75 plt.plot(t_int, ydot_int[:, 2] * plot_scalars['\dot{i}_1'])
76
77 plt.legend([f'${key} \cdot {value:.2e}$' for key, value in plot_scalars.items()
78             ])
79
80 top_limit = 150
81 plt.ylim(top=top_limit, bottom=-top_limit)
82
83 plt.title(f'Integracao de {t0} a {tmax} com passo {delta_t:.2e}')
84 plt.grid(True)

```



## 4.2 Parte 2 - Método de Diferenças Finitas

### 4.2.1 Implementação do método de Liebman

Listing 3: Implementação Liebman

```

1 import numpy as np
2
3 def calcula_erro(M_novo, M_atual):
4     '''
5     Funo que calcula o erro relativo entre a iteracao atual e a iteracao
6     anterior, devolvendo uma matriz com o valor do erro em cada entrada
7     da matriz M
8
9     **Entradas**:
10    M_novo: matriz da nova iteracao
11    M_atual: matriz da iteracao anterior
12
13    **Sadas**:
14    erro: matriz com o erro relativo de cada um dos valores da variavel
15
16    '''
17    erro = np.zeros(M_atual.shape)
18
19    for i in range(M_atual.shape[0]):
20        for j in range(M_atual.shape[1]):
21            if(M_novo[i, j] == 0 and M_atual[i, j] == 0):
22                #evita a divisao por zero
23                erro[i, j] = 0
24            elif(M_novo[i, j] == 0 and M_atual[i, j] != 0):
25                #no deve ocorrer, caso ocorra o cdigo para imediatamente
26                import pdb; pdb.set_trace()
27            else:
28                erro[i, j] = np.abs((M_novo[i, j] - M_atual[i, j])/M_novo[i, j])
29    return erro
30
31 def calcula_iteracao(M_atual, func, lamb, dr, dtheta, q_dots):
32     '''

```

```

33     Funo que calcula uma iterao do mtodo de liebmann, j aplicando a
34     sobrerelaxao a cada item calculado
35
36     **Entradas**:
37     M_atual: numpy array com os valores iniciais da iterao, permanece inalterada
38     func: funo que calcula novo valor da varivel
39     lamb: fator de sobrerelaxao
40     dr: variao "delta r"
41     dtheta: variao "delta theta"
42     q_dots: valor de q_ponto, usado no caso trmico
43
44     **Sadas**
45     M_step: numpy array com os novos valores aps o clculo da iterao
46
47     '''
48     M_step = np.copy(M_atual)
49
50     for i in range(M_atual.shape[0]):
51         for j in range(M_atual.shape[1]):
52             M_step[i, j] = func(M_step, i, j, dr, dtheta, q_dots)
53             M_step[i, j] = lamb*M_step[i, j] + (1 - lamb)*M_atual[i, j]
54
55     return M_step
56
57 def liebmann(M, func, lamb, erro_des, dr, dtheta, max_steps=1e5, q_dots=None):
58     '''
59     Implementao do mtodo de Liebmann com sobrerelaxao
60
61     **Entradas**:
62     M: numpy array que armazenar os valores da varavel calculada
63     func: funo que calcula novo valor da varivel
64     lamb: fator de sobrerelaxao
65     erro_des: erro relativo desejado
66     dr: variao "delta r"
67     dtheta: variao "delta theta"
68     max_steps: nmero mximo de iteraes, interrompe execuo caso
69     a convergncia no tenha ocorrido
70     q_dots: valor de q_ponto, usado no caso trmico
71
72     **Sadas**
73     M_atual: Matriz com os valores da varivel calculada aps a convergncia

```

```

74     '''
75
76     M_atual = np.copy(M)
77     erro = [10*erro_des]
78     i = 1
79
80     while(np.max(erro) > erro_des):
81         M_novo = calcula_iteracao(M_atual, func, lamb, dr, dtheta,q_dots)
82         erro = calcula_erro(M_novo, M_atual)
83         M_atual = np.copy(M_novo)
84         i += 1
85
86         print(f"Iterao {i}: erro {np.max(erro):.5f}", end='\r')
87
88         if(i > max_steps):
89             break
90
91     print(f"Erro {np.max(erro):.4f} atingido com {i} steps")
92     return M_atual

```

#### 4.2.2 Implementação das equações pelo Método de Diferenças Finitas

Listing 4: Implementação MDF com condições do problema

```

1  import numpy as np
2
3  #propriedades fisicas relevantes
4  props_elet = {
5      "sigma_A": 5e-6*1e6,
6      "sigma_B": 1e-5*1e6,
7      "k_A": 110,
8      "k_B": 500,
9      "h": 50
10 }
11
12 """
13 Todas as funcoes precisam das temperaturas da matriz
14 de temperatura e da coordenada atual, alem das prop
15 fisicas e eletricas. Para calcular os valores da tenso
16 eltrica, o q_dot fornecido deve ser nulo, caso contrrio,

```

```

17 ser calculado o valor da temperatura no ponto
18
19 de forma geral:
20 **Entradas**
21 M: matriz dos valores a serem calculados
22 i e j: coordenadas do ponto desejado
23     i: coordenada do raio
24     j: coordenada do ngulo
25 dr: variacao do raio "delta r"
26 dtheta: variacao do ngulo "delta theta"
27 qdot: valor do q ponto, usado no caso termico
28
29 **Saida**
30 valor da tensao eltrica ou da temperatura no ponto
31
32 As funcoes abaixo seguem a nomenclatura criada
33 para este problema, com as seguintes condicoes:
34 - 0: borda superior de A
35 - 1: borda inferior de B (regiao de simetria)
36 - 2: borda esquerda de B
37 - 3: borda direita de B
38 - 4: borda esquerda de A
39 - 5: borda direita de A
40 - 6: borda inferior de A (regiao de simetria)
41 - 7: borda superior de B
42 - 8: interior de A
43 - 9: interior de B
44 """
45
46 #0: borda superior de A
47 def sup_A(M, i, j, dr, dtheta, qdot):
48     raio = 0.03 + i*dr
49     angulo = j*dtheta #em radianos
50     k_A = props_elet['k_A']
51
52     coefs = np.array([
53         4*(dr**2 + dtheta**2 * raio**2),
54         -dr* dtheta**2 * raio + 2 * dtheta**2 * raio**2,
55         dr* dtheta**2 * raio + 2 * dtheta**2 * raio**2,
56         4 * dr**2,
57     ])

```

```

58
59     pontos = np.array([M[i-1,j], M[i+1,j], M[i,j-1]]).reshape(3,1)
60
61     return (np.float(coefs[1:] @ pontos)-(qdot/k_A)*2*(dr**2 * dtheta**2 * raio**2))
        /np.float(coefs[0])
62
63 #1: borda inferior de B (regiao de simetria)
64 def inf_B(M, i, j, dr, dtheta,qdot):
65     raio = 0.03 + i*dr
66     k_B = props_elet['k_B']
67
68     sigma = props_elet['sigma_B']
69
70     coefs = np.array([
71         4*(dr**2 + dtheta**2 * raio**2),
72         -dr * dtheta**2 * raio + 2 * dtheta**2 * raio**2,
73         dr * dtheta**2 * raio + 2 * dtheta**2 * raio**2,
74         2*dr**2,
75         2*dr**2,
76     ])
77
78     pontos = np.array([M[i-1,j], M[i+1,j], M[i,j+1], M[i,j+1]]).reshape(4,1)
79
80     return (np.float(coefs[1:] @ pontos)-(qdot/k_B)*4*(dr**2 * dtheta**2 * raio**2))
        /np.float(coefs[0])
81
82 #2: borda esquerda de B
83 def esq_B(M, i, j, dr, dtheta,qdot):
84     raio = 0.03 + i*dr
85
86     k_A = props_elet['k_A']
87     k_B = props_elet['k_B']
88
89     if qdot==0:
90         sigmaA = props_elet['sigma_A']
91         sigmaB = props_elet['sigma_B']
92
93         alpha = sigmaA * (-2/dr + 1/raio)
94         beta = sigmaB * (2/dr + 1/raio)
95
96     else:

```

```

97
98     alpha = k_A * (-2/dr + 1/raio)
99     beta = k_B * (2/dr + 1/raio)
100
101
102     coefs = np.array([
103         2*(alpha - beta)*(raio**2 * dtheta**2 + dr **2),
104         2 * raio**2 * dtheta**2 * alpha,
105         -2 * raio**2 * dtheta**2 * beta,
106         (alpha - beta)*dr**2,
107         (alpha - beta)*dr**2,
108     ])
109
110     pontos = np.array([M[i-1,j], M[i+1,j], M[i,j-1], M[i,j+1]]).reshape(4,1)
111
112     return (np.float(coefs[1:] @ pontos)/np.float(coefs[0]))
113
114 #3: borda direita de B
115 def dir_B(M, i, j, dr, dtheta, qdot):
116     raio = 0.03 + i*dr
117     k_A = props_elet['k_A']
118     k_B = props_elet['k_B']
119
120     if qdot==0:
121         sigmaA = props_elet['sigma_A']
122         sigmaB = props_elet['sigma_B']
123
124         alpha = sigmaB*(-2/dr + 1/raio)
125         beta = sigmaA*(2/dr + 1/raio)
126
127     else:
128         # k_A = props_elet['k_A']
129         # k_B = props_elet['k_B']
130
131         alpha = k_A*(-2/dr + 1/raio)
132         beta = k_B*(2/dr + 1/raio)
133
134
135     coefs = np.array([
136         2*(alpha - beta)*(raio**2 * dtheta**2 + dr **2),
137         2 * raio**2 * dtheta**2 * alpha,

```

```

138         -2 * raio**2 * dtheta**2 * beta,
139         (alpha - beta)*dr**2,
140         (alpha - beta)*dr**2,
141     ])
142
143     pontos = np.array([M[i-1,j], M[i+1,j], M[i,j-1], M[i,j+1]]).reshape(4,1)
144
145     #VARZEA
146     return np.float(coefs[1:] @ pontos)/np.float(coefs[0])
147
148 #4: borda esquerda de A
149 def esq_A(M, i, j, dr, dtheta,qdot):
150     if qdot==0:
151         return 100
152     else:
153         return 30 + 273
154
155
156 #5: borda direita de A
157 def dir_A(M, i, j, dr, dtheta,qdot):
158     if qdot==0:
159         return 0
160     else:
161         T_amb = 25
162         k_A = props_elet['k_A']
163         h = props_elet['h']
164         raio = 0.03 + i*dr
165
166         coefs = np.array([
167             (dr**2 * dtheta**2 * h*raio) + 2* dr**2 * k_A + 2* dr* dtheta**2 * h *
168                 raio**2
169             + 2* dtheta**2 * k_A * raio**2,
170             2* dtheta**2 * k_A * raio**2,
171             dr**2 * k_A,
172             dr**2 * k_A,
173         ])
174
175     try:
176         pontos = np.array([M[i-1,j], M[i,j-1], M[i,j+1]]).reshape(3,1)
177
178         temp = np.float(coefs[1:] @ pontos)

```

```

178
179         temp += T_amb*(dr**2 * dtheta**2 * h * raio + 2* dr * dtheta**2 * h *
180             raio**2)
181
182         temp += qdot * dr**2 * dtheta**2 * raio**2
183
184     except:
185         return M[i,j-1]
186
187     return temp/np.float(coefs[0])
188
189 #6: borda inferior de A (regiao de simetria)
190 def inf_A(M, i, j, dr, dtheta,qdot):
191     raio = 0.03 + i*dr
192     k_A = props_elet['k_A']
193
194     coefs = np.array([
195         4*(dr**2 + dtheta**2 * raio**2),
196         -dr * dtheta**2 * raio + 2 * dtheta**2 * raio**2,
197         dr * dtheta**2 * raio + 2 * dtheta**2 * raio**2,
198         2*dr**2,
199         2*dr**2,
200     ])
201     pontos = np.array([M[i-1,j], M[i+1,j], M[i,j+1], M[i,j+1]]).reshape(4,1)
202
203     return (np.float(coefs[1:] @ pontos)-(qdot/k_A)*2*(dr**2 * dtheta**2 * raio**2))
204         /np.float(coefs[0])
205
206 #7: borda superior de B
207 def sup_B(M, i, j, dr, dtheta,qdot):
208     raio = 0.03 + i*dr
209
210     if qdot==0:
211         A = props_elet['sigma_A']
212         B = props_elet['sigma_B']
213     else:
214         A = props_elet['k_A']
215         B = props_elet['k_B']
216
217     coefs = np.array([
218         4*(A + B)*(dtheta**2 * raio**2 + dr**2),

```



```

217     (A + B)*(-dtheta**2 * dr * raio + 2 * dtheta**2 * raio**2),
218     (A + B)*(dtheta**2 * dr * raio + 2 * dtheta**2 * raio**2),
219     4 * dr**2 * A,
220     4 * dr**2 * B,
221 ])
222
223 pontos = np.array([M[i-1,j], M[i+1,j], M[i,j-1], M[i,j+1]]).reshape(4,1)
224
225
226 return np.float(coefs[1:] @ pontos)/np.float(coefs[0])
227
228 #8: interior de A
229 def inter_A(M, i, j, dr, dtheta,qdot):
230     raio = 0.03 + i*dr
231     k_A = props_elet['k_A']
232
233     coefs = np.array([
234         4*(dr**2 + dtheta**2 * raio**2),
235         -dr * dtheta**2 * raio + 2 * dtheta**2 * raio**2,
236         dr * dtheta**2 * raio + 2 * dtheta**2 * raio**2,
237         2*dr**2,
238         2*dr**2,
239     ])
240
241     pontos = np.array([M[i-1,j], M[i+1,j], M[i,j-1], M[i,j+1]]).reshape(4,1)
242
243     return (np.float(coefs[1:] @ pontos)-(qdot/k_A)*2*(dr**2 * dtheta**2 * raio**2))
244         /np.float(coefs[0])
245
246 #9: interior de B
247 def inter_B(M, i, j, dr, dtheta,qdot):
248     raio = 0.03 + i*dr
249     k_B = props_elet['k_B']
250
251     coefs = np.array([
252         4*(dr**2 + dtheta**2 * raio**2),
253         -dr * dtheta**2 * raio + 2 * dtheta**2 * raio**2,
254         dr * dtheta**2 * raio + 2 * dtheta**2 * raio**2,
255         2*dr**2,
256         2*dr**2,

```

```

257     ])
258
259     pontos = np.array([M[i-1,j], M[i+1,j], M[i,j-1], M[i,j+1]]).reshape(4,1)
260
261     return (np.float(coefs[1:] @ pontos)-(qdot/k_B)*2*(dr**2 * dtheta**2 * raio**2))
        /np.float(coefs[0])
262
263
264 if __name__ == '__main__':
265     from resolve_potencial import *
266
267     dr = 0.0005
268     dtheta = np.deg2rad(0.5)
269     lamb = 1.5
270     erro_des = 1e-4
271
272     #M = cria_malha(dr, dtheta)

```

#### 4.2.3 Implementação da simulação dos valores do forno unindo o método de Liebman e o método de Diferenças Finitas

Listing 5: Implementação da solução do forno

```

1  import numpy as np
2  from liebmann import *
3  from funcoes_potencial import *
4
5  #propriedades geometricas do sistema
6  props_geo = {
7      "R_A" : [0.03, 0.08 + 0.03],
8      "R_B" : [0.03 + 0.02, 0.03 + 0.05],
9      "Theta_A" : [0, np.deg2rad(40)],
10     "Theta_B" : [0, np.deg2rad(18)],
11 }
12
13 def cria_malha(dr, dtheta):
14     '''
15     Funo que cria a malha para o problema, de acordo os valores de delta r e
16     delta theta fornecidos. Pela simetria do problema, so necessario resolver
17     metade da geometria da pea, ento a malha gerada equivalente a somente

```

```

18     metade da pea
19
20     **Entradas**
21     dr: variacao do raio "delta r"
22     dtheta: variacao do ngulo "delta theta"
23
24     **Sadas**:
25     M: matriz inicialmente zerada, do tamanho necessario
26     '''
27     #cria matriz inicial
28
29     n_r = (max(props_geo['R_A']) - min(props_geo['R_A']))/dr
30     n_theta = (max(props_geo["Theta_A"]) - min(props_geo["Theta_A"]))/dtheta
31
32     M = np.zeros((int(n_r+1), int(n_theta+1)))
33
34     return M
35
36
37 def define_condicao(i, j, dr, dtheta):
38
39     '''Funco que verifica em que condio o ponto i,j da matriz ,
40     para calcular o valor da varivel com a expresso correta. A
41     correspondncia entre o valor numrico e a condio pode ser
42     conferida na funco 'calcula_tenso'
43
44     **Entradas**:
45     i, j: coordenadas do ponto
46     dr, dtheta: variaes do raio e ngulo
47
48     **Sada**
49     valor numrico correspondente condio do ponto
50     '''
51
52     raio = i*dr + min(props_geo['R_A'])
53     theta = np.rad2deg(j*dtheta + min(props_geo['Theta_A']))
54     #angulos sao usados em graus nessa funcao para facilitar a analise
55
56     if(theta >= 40):
57         if(raio == 0.03):
58             return 4

```

```

59     if(raio == 0.11):
60         return 5
61     else:
62         return 0 # borda superior material A
63 elif(theta == 0):
64     if(0.05 < raio < 0.08):
65         return 1 #borda inferior do material B - duplicar
66     elif(raio == 0.05):
67         return 1 #borda esquerda do material B (antes 2)
68     elif(raio == 0.08):
69         return 1 #borda direita do material B (antes 3)
70     elif(raio == 0.03):
71         return 4 #borda esquerda do material A - ajuste de matriz
72     elif(raio == 0.11):
73         return 5 #borda direita do material A - ajuste de matriz
74     else:
75         return 6 #borda inferior do material A - duplicar
76 elif(theta == 18):
77     if(0.05 < raio < 0.08):
78         return 7 #borda superior do material B
79     if(raio == 0.11):
80         return 5 #borda direita do material A
81     elif(raio == 0.03):
82         return 4 #borda esquerda do material A
83     else:
84         return 8 #interior do material A
85 elif(theta > 18):
86     if(raio == 0.11):
87         return 5 #borda direita do material A
88     elif(raio == 0.03):
89         return 4 #borda esquerda do material A
90     else:
91         return 8 #interior do material A
92 else:
93     if(0.05 < raio < 0.08):
94         return 9 #interior B
95     elif(raio == 0.05):
96         return 2
97     elif(raio == 0.08):
98         return 3
99     elif(raio == 0.03):

```

```

100         return 4
101     elif(raio == 0.11):
102         return 5
103     else:
104         return 8
105
106
107 def calcula_tensao(M, i, j, dr, dtheta, q_dots):
108     '''
109     Funcao que calcula a tenso (caso q_dots seja None)
110     ou a temperatura do ponto. A funo verifica qual
111     a condio do ponto e em seguida chama a funo correspondente
112
113     10 condicoes necessarias
114     - 0: borda superior de A
115     - 1: borda inferior de B (regiao de simetria)
116     - 2: borda esquerda de B
117     - 3: borda direita de B
118     - 4: borda esquerda de A
119     - 5: borda direita de A
120     - 6: borda inferior de A (regiao de simetria)
121     - 7: borda superior de B
122     - 8: interior de A
123     - 9: interior de B
124
125     **Entradas**
126     M: matriz dos valores a serem calculados
127     i e j: coordenadas do ponto desejado
128     dr e dtheta: variaes do raio e ngulo
129     q_dots = Valor da energia dissipada
130     (passar como None caso seja caso eltrico)
131     '''
132
133     if q_dots is None:
134         qdot = 0
135     else:
136         qdot = q_dots[i,j]
137
138     condicao = define_condicao(i, j, dr, dtheta)
139
140     if(condicao == 0):

```

```

141     temp = sup_A(M, i, j, dr, dtheta, qdot)
142 elif(condicao == 1):
143     temp = inf_B(M, i, j, dr, dtheta, qdot)
144 elif(condicao == 2):
145     temp = esq_B(M, i, j, dr, dtheta, qdot)
146 elif(condicao == 3):
147     temp = dir_B(M, i, j, dr, dtheta, qdot)
148 elif(condicao == 4):
149     temp = esq_A(M, i, j, dr, dtheta, qdot)
150 elif(condicao == 5):
151     temp = dir_A(M, i, j, dr, dtheta, qdot)
152 elif(condicao == 6):
153     temp = inf_A(M, i, j, dr, dtheta, qdot)
154 elif(condicao == 7):
155     temp = sup_B(M, i, j, dr, dtheta, qdot)
156 elif(condicao == 8):
157     temp = inter_A(M, i, j, dr, dtheta, qdot)
158 elif(condicao == 9):
159     temp = inter_B(M, i, j, dr, dtheta, qdot)
160
161     return temp
162
163 def resolve_potencial(dr=0.001, dtheta=np.deg2rad(2), lamb=1.75, erro_des=1e-4,
164     q_dots=None):
165     '''
166     Função principal para resolver o problema do potencial elétrico ou da temperatura
167     de cada um dos pontos. A função cria a malha e usa o método de Liebmann para
168     encontrar
169     os valores
170
171     **Entradas**:
172     dr e dtheta: variações do raio e ângulo
173     lamb: fator de sobre-relaxação
174     erro_des: erro relativo desejado
175     q_dots: valor de q_ponto, usado no caso trmico
176
177     #cria matriz inicialmente zerada
178     M = cria_malha(dr, dtheta)
179
180     print(f"Matriz: {M.shape}")

```

```

180
181 M_ans = liebmann(M,
182                 func=calcula_tensao,
183                 lamb=lamb,
184                 erro_des=erro_des,
185                 dr=dr,
186                 dtheta=dtheta,
187                 q_dots=q_dots,
188                 max_steps=1.e4
189                 )
190
191 #cria_plot(M_ans, dr, dtheta)
192 return M_ans
193
194 def calcula_Qr(V, i, j, dr, dtheta, termico=False):
195     '''
196     Calcula a coordenada r do vetor J ou do vetor fluxo de calor,
197     de acordo com o parametro 'termico'
198
199     **Entradas**:
200     V: matriz com os valores de tenso ou temperatura
201     i e j: coordenadas do ponto desejado
202     dr e dtheta: variaes do raio e ngulo
203     termico: 'False' para problema eltrico, 'True' para trmico
204
205     **Sadas**
206     qr: valor da coordenada r do vetor
207     '''
208
209     condicao = define_condicao(i, j, dr, dtheta)
210
211     if termico:
212         multA = props_elet['k_A']
213         multB = props_elet['k_B']
214     else:
215         multA = props_elet['sigma_A']
216         multB = props_elet['sigma_B']
217
218     if(condicao == 4): #borda esquerda de A
219         #progressiva
220         qr = multA * (-V[i+2, j] + 4*V[i+1, j] - 3*V[i, j])/(2*dr)

```

```

221 elif(condicao == 5): #borda direita de A
222     #regressiva
223     qr = multA * (V[i-2, j] - 4*V[i-1, j] + 3*V[i, j])/(2*dr)
224 elif(condicao in [0, 8, 6]): #interior de A
225     qr = multA * (V[i+1, j] - V[i-1,j])/(2*dr)
226 else: #interior de B
227     qr = multB * (V[i+1, j] - V[i-1,j])/(2*dr)
228
229 return qr
230
231 def calcula_Qtheta(V, i, j, dr, dtheta, termico=False):
232     '''
233     Calcula a coordenada theta do vetor J ou do vetor fluxo de calor,
234     de acordo com o parametro 'termico'
235
236     **Entradas**:
237     V: matriz com os valores de tenso ou temperatura
238     i e j: coordenadas do ponto desejado
239     dr e dtheta: variaes do raio e ngulo
240     termico: 'False' para problema eltrico, 'True' para trmico
241
242     **Sadas**
243     qtheta: valor da coordenada theta do vetor
244     '''
245
246     condicao = define_condicao(i, j, dr, dtheta)
247     raio = 0.03 + i*dr
248
249     if termico:
250         multA = props_elet['k_A']
251         multB = props_elet['k_B']
252     else:
253         multA = props_elet['sigma_A']
254         multB = props_elet['sigma_B']
255
256
257     if(condicao == 0): #regressiva
258         qtheta = multA * (V[i, j-2] - 4*V[i, j-1] + 3*V[i, j])/(2*dtheta*raio)
259     elif(condicao in [6, 1]): #central simetrica A
260         qtheta = 0
261     elif(condicao in [4, 5, 8]): #central A

```



```

262         try:
263             qtheta = multA* (V[i, j+1] - V[i,j-1])/(2*dtheta*raio)
264         except:
265             qtheta = 0 #despreza pontos extremos de A
266     else: #central B
267         qtheta = multB* (V[i, j+1] - V[i,j-1])/(2*dtheta*raio)
268
269     return qtheta
270
271 def calcula_J(V_ans, dr, dtheta, termico=False):
272     '''
273     Calcula vetor J ou Q e armazena o resultado em uma matriz tridimensional,
274     onde J[i, j, 0] corresponde coordenada r do vetor e J[i, j, 1] coordenada
275     theta
276
277     **Entradas**:
278     V_ans: matriz com as tensões (para o J) ou temperaturas (para o Q)
279     dr e dtheta: variações do raio e ângulo
280     termico: 'False' para problema elétrico, 'True' para térmico
281
282     **Sadas**
283     J: matriz tridimensional com os vetores correspondentes de cada posição i,j
284     '''
285
286     J = np.zeros((V_ans.shape[0], V_ans.shape[1], 2)) #guarda os vetores
287     for i in range(J.shape[0]):
288         for j in range(J.shape[1]):
289             J[i, j, 0] = -calcula_Qr(V_ans, i, j, dr, dtheta, termico)
290             J[i, j, 1] = -calcula_Qtheta(V_ans, i, j, dr, dtheta, termico)
291
292     return J
293
294 def calcula_qponto(J_ans, dr, dtheta):
295     '''
296     Função que calcula o valor de q_ponto de cada valor i, j
297     a partir da densidade de corrente, para utilizar no problema térmico
298
299     **Entradas**:
300     J: matriz tridimensional com os vetores correspondentes de cada posição i,j
301     dr e dtheta: variações do raio e ângulo
302

```

```

303     **Sadas**:
304     qdot: matriz com os valores da energia dissipada em cada posio i, j
305     '''
306     qdot = np.zeros((J_ans.shape[0], J_ans.shape[1]))
307
308     for i in range(qdot.shape[0]):
309         for j in range(qdot.shape[1]):
310             condicao = define_condicao(i, j, dr, dtheta)
311
312             if(condicao in [0, 4, 5, 6, 8]):
313                 sigma = props_elet['sigma_A']
314             else:
315                 sigma = props_elet['sigma_B']
316
317             qdot[i, j] = -(np.linalg.norm(J_ans[i, j, :]))**2/sigma
318
319     return qdot
320
321 def calcula_corrente(J_ans, dtheta, rmax=False):
322     '''
323     Funo de integracao, usada para calcular a corrente ou o fluxo por
324     convecco. A integral foi aproximada por meio do mtodo dos trapzios.
325
326     **Entradas**:
327     J_ans: matriz tridimensional com os vetores correspondentes de cada posio i,j
328     dtheta: variacao do ngulo
329     rmax: 'False' para raio 0.03, 'True' para raio 0.11
330     '''
331     #aproxima integral para soma
332     soma = 0
333     if rmax:
334         raio = 0.11
335         for j in range(1,J_ans.shape[1]):
336             soma += J_ans[-1,j,0] + J_ans[-1,j-1,0] #verificar o -1
337     else:
338         raio = 0.03
339         for j in range(1,J_ans.shape[1]):
340             soma += J_ans[0,j,0] + J_ans[0,j-1,0]
341
342     return soma*2*raio*dtheta/2
343

```

```

344 if __name__ == "__main__":
345     resolve_potencial()

```

#### 4.2.4 Implementação das funções que geram os gráficos

Listing 6: Implementação dos gráficos

```

1  from matplotlib.axis import XAxis
2  import matplotlib.pyplot as plt
3  import numpy as np
4  import seaborn as sns
5  import plotly.express as ex
6  import plotly.graph_objects as go
7  import plotly.figure_factory as ff
8  import pandas as pd
9
10 def heatmap_2d(M, dr, dtheta, xlabel, ylabel, title, legend, tipo='C', reflexao=True
11 ):
12     '''
13     Função para gerar um heatmap de 2 dimensões, a partir dos valores armazenados
14     na matriz M
15
16     **Entradas**:
17     M: matriz com os valores das variáveis desejadas
18     dr: variável "delta r"
19     dtheta: variável "delta theta"
20     xlabel, ylabel, title: labels para os eixos e título do gráfico
21     legend: legenda da variável desejada
22     tipo: "C" para dados contínuos, "D" para dados discretos
23     reflexao: como calcula-se somente metade da pea, caso este valor seja 'True'
24     ser feita a reflexão no eixo x para mostrar a pea inteira
25     '''
26
27     X = []
28     Y = []
29     Valores = []
30
31     for i in range(M.shape[0]): #raio
32         for j in range(M.shape[1]): #ângulo
33             raio = 0.03 + i*dr

```

```

33     angulo = j*dtheta
34
35     #conversao de coord. polar para cartesiana
36     x = raio*np.cos(angulo)
37     y = raio*np.sin(angulo)
38
39     valor = M[i,j]
40
41     X.append(x)
42     Y.append(y)
43     Valores.append(valor)
44
45     #reflexao no eixo X
46     if reflexao:
47         X.append(x)
48         Y.append(-y)
49         Valores.append(valor)
50
51 X, Y = np.array(X), np.array(Y)
52 if tipo == 'D':
53     Valores = [str(i) for i in Valores]
54
55 df = pd.DataFrame({xlabel: X, ylabel: Y, legend: Valores})
56
57 fig = ex.scatter(df, x=X, y=Y, color=legend)
58
59 fig.update_layout(
60     title = dict(
61         text=title,
62         x=0.5,
63         xanchor='center',
64         yanchor='top',
65     ),
66
67     xaxis_title = xlabel,
68
69     yaxis_title = ylabel,
70
71     legend = dict(
72         yanchor='top',
73         y=1.02,

```

```

74         ),
75
76         font=dict(
77             family="Courier New",
78             size=18,
79         ),
80
81     )
82
83     fig.show()
84
85 def surf_3d(M, dr, dtheta, xlabel, ylabel, zlabel, title):
86     '''
87     Função para gerar um gráfico tridimensional da variável calculada,
88     de tipo 'surf'
89
90     **Entradas**:
91     M: matriz com os valores das variáveis desejadas
92     dr: variável "delta r"
93     dtheta: variável "delta theta"
94     xlabel, ylabel, zlabel, title: labels para os eixos e título do gráfico
95     '''
96
97     raios = [0.03 + i*dr for i in range(M.shape[0])]
98     angulos = [j*dtheta for j in range(M.shape[1])]
99
100    ang_mesh, raio_mesh = np.meshgrid(angulos, raios)
101
102    x_mesh = raio_mesh*np.cos(ang_mesh)
103    y_mesh = raio_mesh*np.sin(ang_mesh)
104
105    fig = go.Figure(data=[go.Surface(z=M, x=x_mesh, y=y_mesh), go.Surface(z=M, x=
        x_mesh, y=-y_mesh)])
106
107    fig.update_layout(
108        title = dict(
109            text=title,
110            x=0.5,
111            xanchor='center',
112        ),
113

```

```

114     scene = dict(
115         xaxis_title=xlabel,
116         yaxis_title=ylabel,
117         zaxis_title=zlabel,
118     ),
119
120     font=dict(
121         family="Courier New",
122         size=18,
123     ),
124 )
125
126 fig.show()
127
128
129
130 def quiver(J, dr, dtheta, xlabel, ylabel, title, plot='half', arrow_scale=1, lib='
matplotlib'):
131     '''
132     Funo para gerar um grfico bidimensional de um campo vetorial. Por se tratar de
133     um grfico
134     mais pesado, recomenda-se utilizar o matplotlib ao invs do plotly, mas ambas as
135     opces esto
136     implementadas
137
138     **Entradas**:
139     J: matriz tridimensional com os valores dos vetores
140     dr: variao "delta r"
141     dtheta: variao "delta theta"
142     xlabel, ylabel, title: labels para os eixos e ttulo do grfico
143     plot: 'half' (metade - recomendado) ou 'full' (pea inteira)
144     arrow_scale: escala da seta, utilizada somente na verso do plotly
145     lib: 'matplotlib' (recomendada) ou 'plotly'
146     '''
147
148     raios = [0.03 + i*dr for i in range(J.shape[0])]
149     angulos = [j*dtheta for j in range(J.shape[1])]
150
151     ang_mesh, raio_mesh = np.meshgrid(angulos, raios)

```

```

152 x_mesh = raio_mesh*np.cos(ang_mesh)
153 y_mesh = raio_mesh*np.sin(ang_mesh)
154
155 x_vec = np.zeros((J.shape[0], J.shape[1]))
156 y_vec = np.zeros((J.shape[0], J.shape[1]))
157
158 for i in range(J.shape[0]):
159     for j in range(J.shape[1]):
160         raio = 0.03 + i*dr
161         angulo = j*dtheta
162         #projeta
163         qr = J[i, j, 0]
164         qtheta = J[i, j, 1]
165         x_vec[i, j] = (qr - qtheta)*np.cos(angulo)
166         y_vec[i, j] = (qr + qtheta)*np.sin(angulo)
167
168 if lib == 'matplotlib':
169     plt.quiver(x_mesh, y_mesh, x_vec, y_vec)
170     plt.xlabel(xlabel)
171     plt.ylabel(ylabel)
172     plt.title(title)
173     plt.show()
174
175
176 elif lib == 'plotly':
177
178     fig1 = ff.create_quiver(x_mesh, y_mesh, x_vec, y_vec, arrow_scale=arrow_scale
179                             )
180
181     if plot == 'full':
182         fig2 = ff.create_quiver(x_mesh, -y_mesh, x_vec, -y_vec, arrow_scale=
183                                 arrow_scale)
184
185         fig1.add_traces(data = fig2.data)
186         fig1.update_traces(marker=dict(color='blue'))
187
188     fig1.update_layout(
189         title = dict(
190             text=title,

```

```

191         xanchor='center',
192     ),
193
194     scene = dict(
195         xaxis_title=xlabel,
196         yaxis_title=ylabel,
197     ),
198
199     font=dict(
200         family="Courier New",
201         size=18,
202     ),
203 )
204
205 fig1.show()
206
207
208 if __name__ == '__main__':
209     from resolve_potencial import define_condicao, cria_malha
210
211     dr = 0.001
212     dtheta = np.deg2rad(1)
213     M = cria_malha(dr, dtheta)
214     print(M.shape)
215
216     for i in range(M.shape[0]):
217         for j in range(M.shape[1]):
218             M[i, j] = define_condicao(i, j, dr, dtheta)
219
220     heatmap_2d(M, dr, dtheta, title='Condio dos pontos', xlabel='X (m)', ylabel='Y (
221         m)', legend='Condico', tipo='D', reflexao=False)
222     #surf_3d(M, dr, dtheta, title='Condicao dos pontos', xlabel='X (m)', ylabel='Y (
223         m)', zlabel='Tensao (V)')

```

#### 4.2.5 Uso das funções de resolução para gerar os resultados

Para gerar todos os gráficos e valores do Exercício Programa, basta executar este código

Listing 7: Resolução da simulação do forno



```

1 from resolve_potencial import *
2 from plots import *
3 import numpy as np
4 import time
5
6 print("PMR3401 - EP1 2022")
7 print("Ariel Guerreiro - 11257838")
8 print("Felipe Azank - 11258137\n\n")
9
10 print(f"valor da condutividade eltrica em A: {props_elet['sigma_A']}")
11 print(f"valor da condutividade eltrica em B: {props_elet['sigma_B']}")
12
13 '''
14 Arquivo principal, responsvel por resolver
15 toda a parte 2 do exercicio-programa
16 '''
17
18 #calcula a tensao de cada ponto da malha
19 dr = 0.001
20 dtheta = np.deg2rad(1)
21
22 print(f"Discretizao adotada:\ndelta_r = {dr}\ndelta_theta = {dtheta:.5f} rad ({np.
    rad2deg(dtheta)})")
23
24 #calcula das tensoes eletricas
25 V_ans = resolve_potencial(
26     dr=dr,
27     dtheta=dtheta,
28     lamb=1.75,
29     erro_des=1e-4
30 )
31
32 #calcula do vetor densidade de corrente
33 J_ans = calcula_J(V_ans, dr, dtheta)
34
35 #calcula da energia dissipada por efeito Joule
36 q_ans = calcula_qponto(J_ans, dr, dtheta)
37
38 #calcula corrente eletrica pelo raio maximo.
39 #Como o problema resolvido para metade da pea,

```

```

40 #o valor deve ser dobrado
41 I_ans_rmax = 2*calcula_corrente(J_ans, dtheta, rmax=True)
42
43 #ddp
44 deltaV = 100
45
46 #calcula resisncia da pea
47 R_max = deltaV/I_ans_rmax
48
49 print(f"Corrente calculada para Rmax = 0.11: {I_ans_rmax} A")
50 print(f"Resistncia equivalente: {R_max} Ohms")
51 print(f"Potncia dissipada MAX: {I_ans_rmax**2 * R_max}")
52
53
54 #calcula corrente eletrica pelo raio minimo.
55 I_ans = 2*calcula_corrente(J_ans, dtheta, rmax=False)
56
57 R_min = deltaV/I_ans
58
59 print(f"Corrente calculada para Rmin = 0.03: {I_ans} A")
60 print(f"Resistncia equivalente: {R_min} Ohms")
61 print(f"Potncia dissipada: {I_ans**2 * R_min}")
62
63
64 #calcula temperaturas com as mesmas funcoes do potencial
65 T_ans = resolve_potencial(
66     dr=dr,
67     dtheta=dtheta,
68     lamb=1.75,
69     erro_des=1e-4,
70     q_dots = q_ans)
71
72 #calcula do fluxo de calor
73 fluxo_ans = calcula_J(T_ans, dr, dtheta, termico=True)
74
75 #calcula da quantidade de calor (unidade W) que flui pela parede de convec:
76 qt_calor_ans = 2*calcula_corrente(fluxo_ans, dtheta, rmax=True)
77
78 print(f"Quantidade de calor que flui pela parede de convec: {qt_calor_ans} W")
79
80

```

```

81 |
82 | #plots das condies
83 |
84 | #heatmap da tensao eletrica
85 | heatmap_2d(
86 |     V_ans, dr, dtheta,
87 |     title='Tenso eltrica',
88 |     xlabel='Coordenada X (m)',
89 |     ylabel='Coordenada Y (m)',
90 |     legend='Tenso (V)'
91 | )
92 |
93 | #surface plot da tensao eletrica
94 | surf_3d(
95 |     V_ans, dr, dtheta,
96 |     title='Tenso eltrica',
97 |     xlabel='Coordenada X (m)',
98 |     ylabel='Coordenada Y (m)',
99 |     zlabel='Tenso (V)'
100 | )
101 |
102 |
103 |
104 | #surface plot da fonte de calor equivalente
105 | surf_3d(
106 |     q_ans, dr, dtheta,
107 |     title='Fonte de calor equivalente',
108 |     xlabel='Coordenada X (m)',
109 |     ylabel='',
110 |     zlabel='',
111 | )
112 |
113 | surf_3d(
114 |     T_ans, dr, dtheta,
115 |     title='Temperatura dos Pontos do Forno',
116 |     xlabel='',
117 |     ylabel='',
118 |     zlabel='T (K)'
119 | )
120 |
121 | #quiver plot da densidade de corrente

```

```

122 quiver(
123     J_ans, dr, dtheta,
124     title='Vetor densidade de corrente',
125     xlabel='Coordenada X (m)',
126     ylabel='Coordenada Y (m)',
127     arrow_scale=1e-5,
128 )
129
130 #quiver plot do vetor fluxo de calor
131 quiver(
132     fluxo_ans, dr, dtheta,
133     title='Vetor fluxo de calor (W/m^2)',
134     xlabel='Coordenada X (m)',
135     ylabel='Coordenada Y (m)',
136 )

```